



NANOANDES 2017

22 al 29 de noviembre



Modelado y simulación de circuitos de microfluídica

Claudio Berli

Profesor Titular UNL

Investigador Principal CONICET

I N T E C



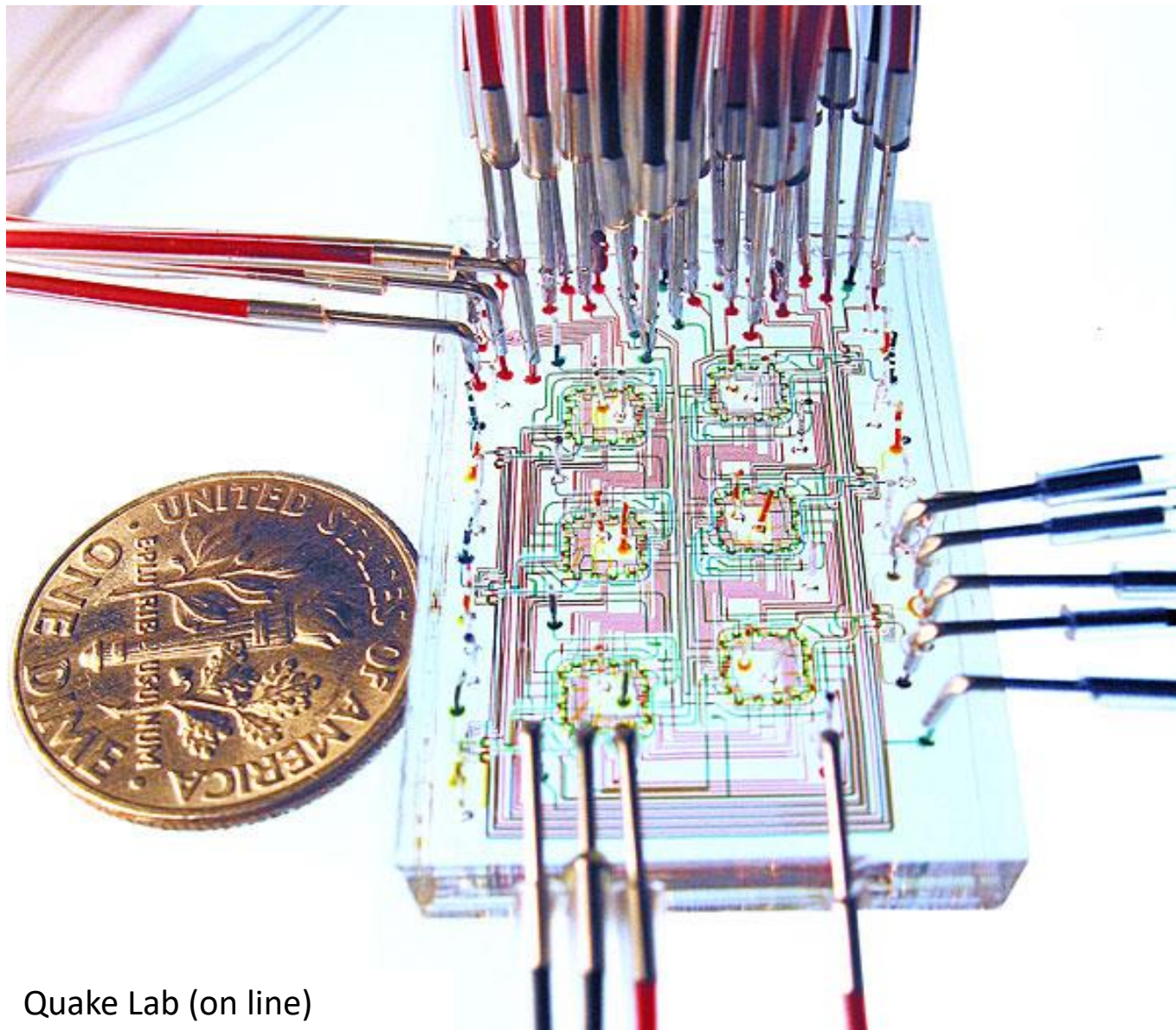
CONICET



Predio CCT CONICET Santa Fe
RN 168, 3000, Santa Fe, Argentina

- ▶ ***i. Introducción***
 - ▶ Definición/laboratorios en chips
 - ▶ Breve historia, evolución y presente
 - ▶ Publicaciones y mercado (ciencia y tecnología)
 - ▶ La Microfluídica como herramienta
- ▶ ***ii. Circuitos de microcanales***
- ▶ ***iii. Ejemplo: nuevos materiales***

i. Microfluídica



Quake Lab (on line)

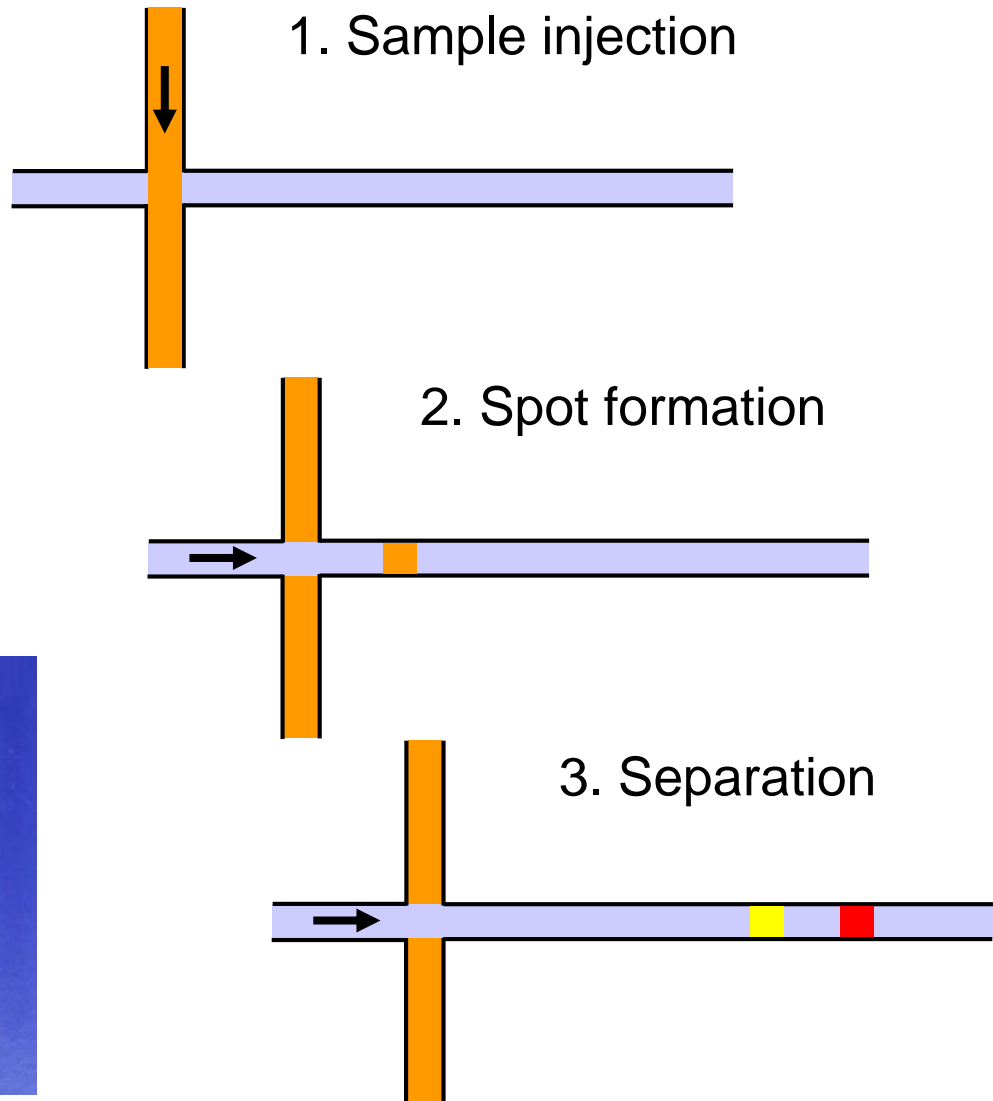
i. Breve historia



Harrison et al., *Science*
261 (1993) 895



micronit.com

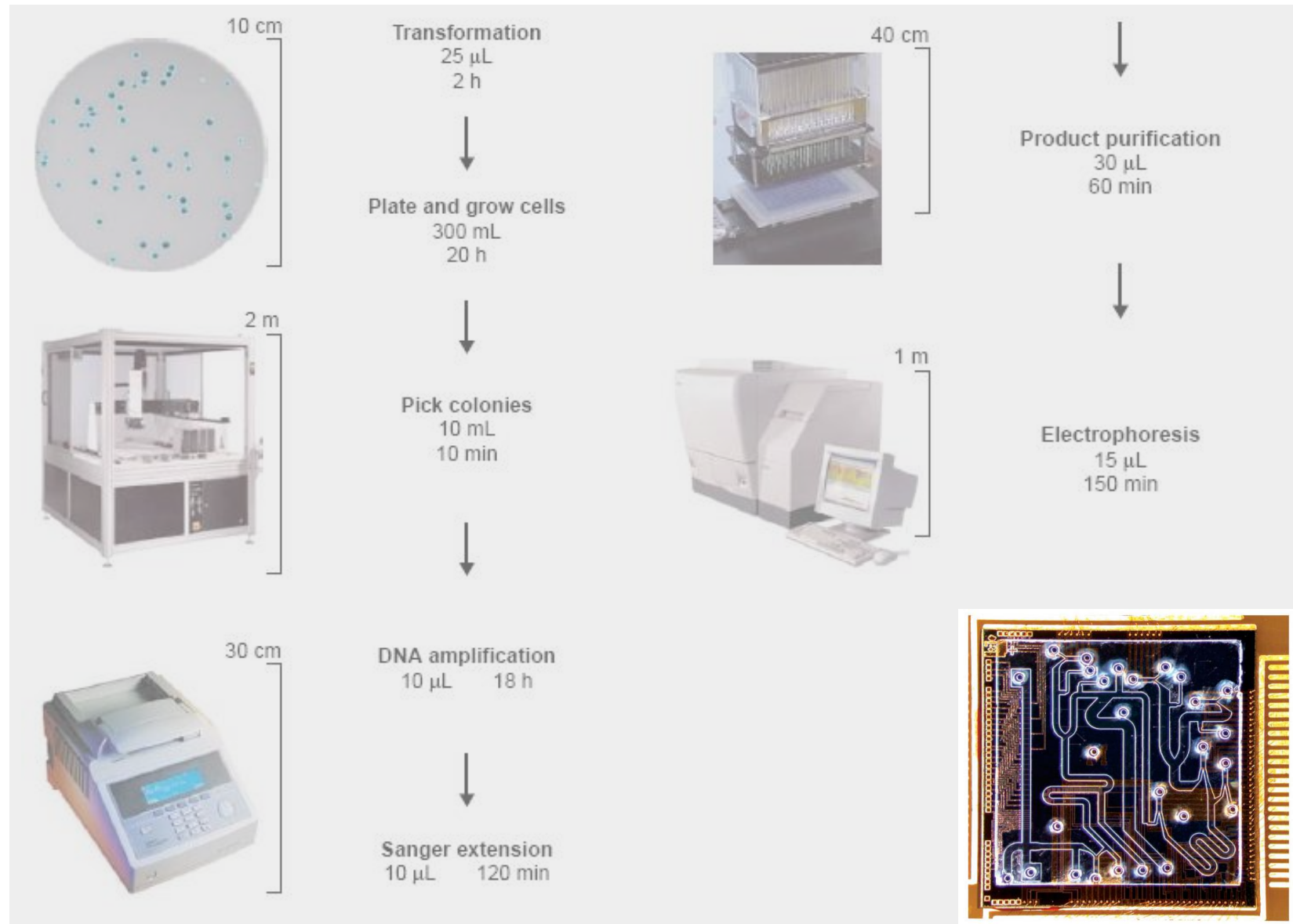


i. Breve historia

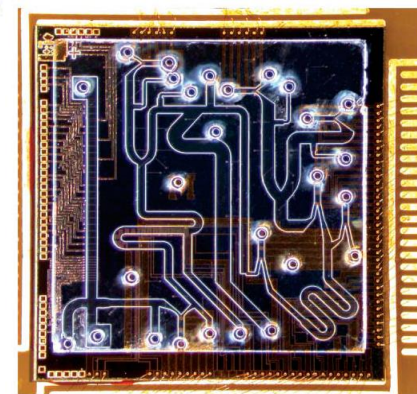
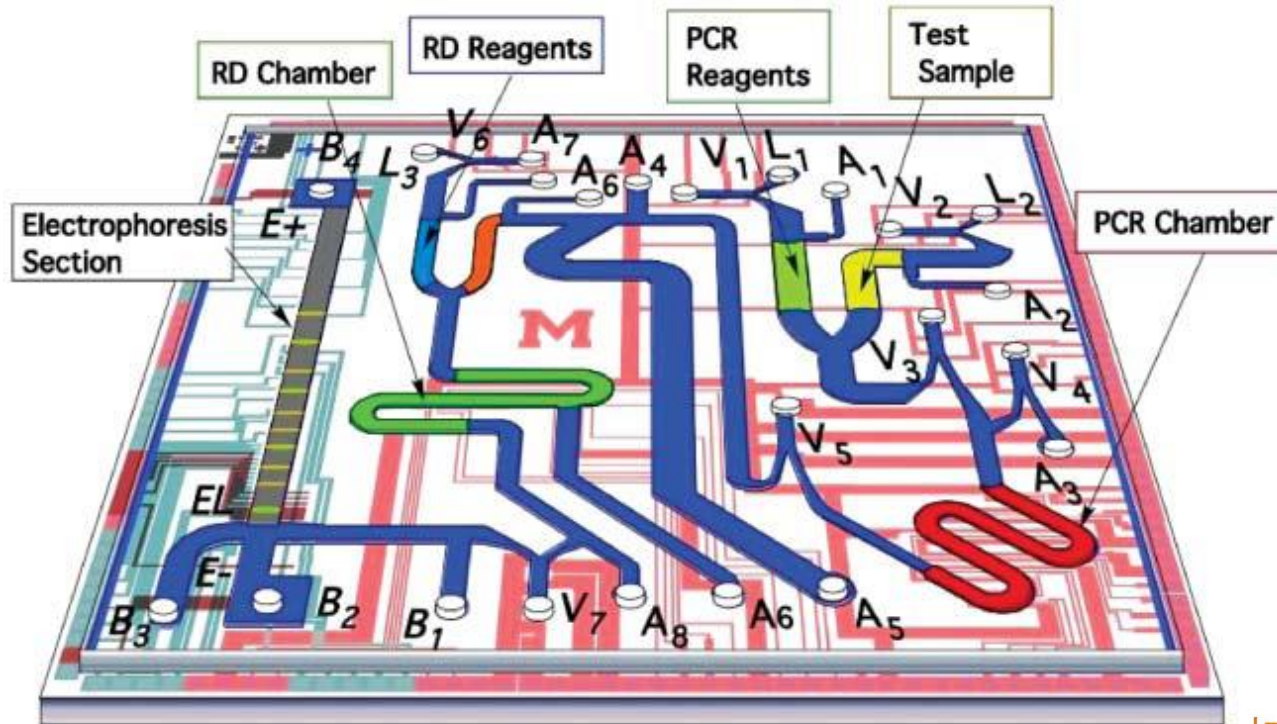


Caliper/Agilent Technologies (1998)

i. Todo el laboratorio...



i. ...en un chip!



Pal et al., *Lab Chip* 5 (2005) 1024

i. Ensamble de micro y nanotecnologías

lab-on-a-chip

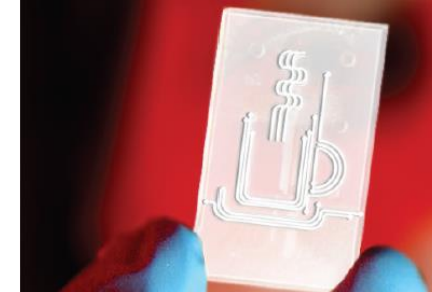
μTAS

nanotechnology

MEMS

biosensors

**TODO UN
LABORATORIO
EN UN CHIP**

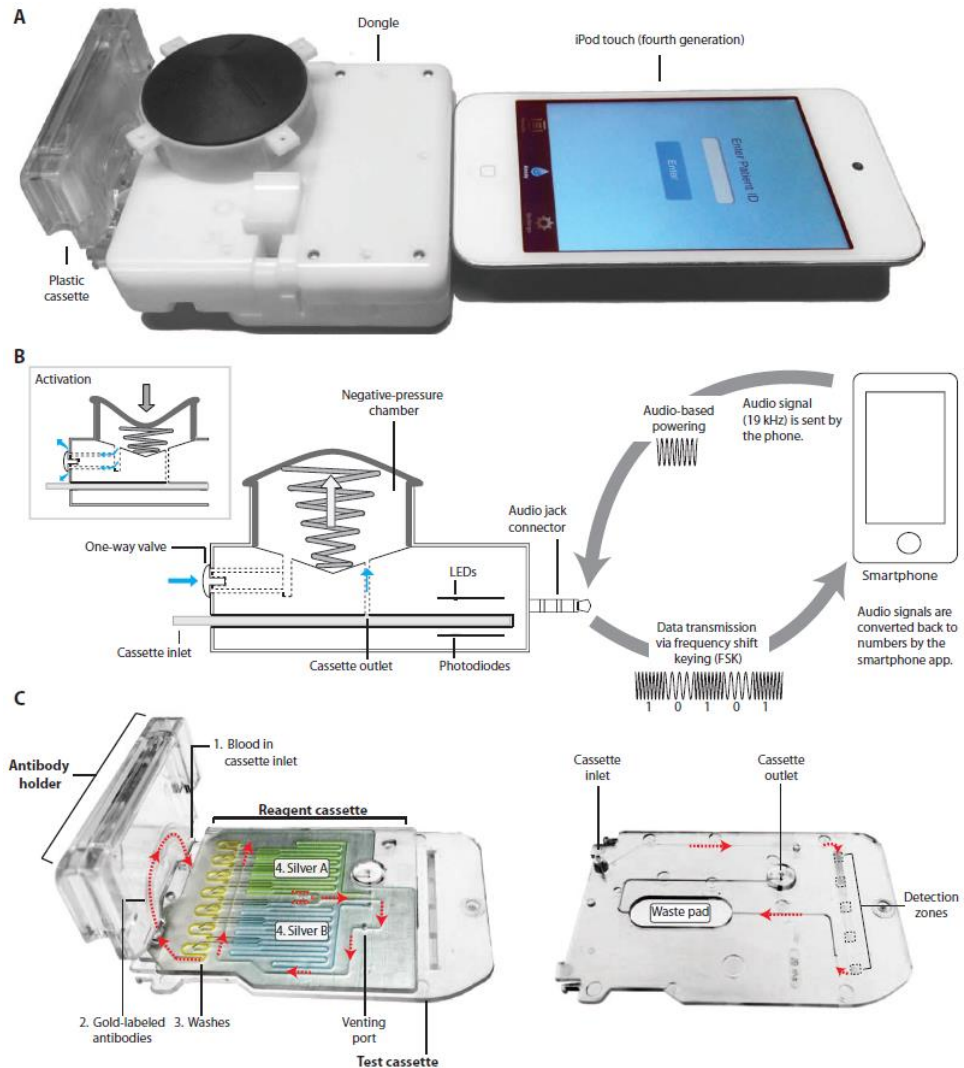
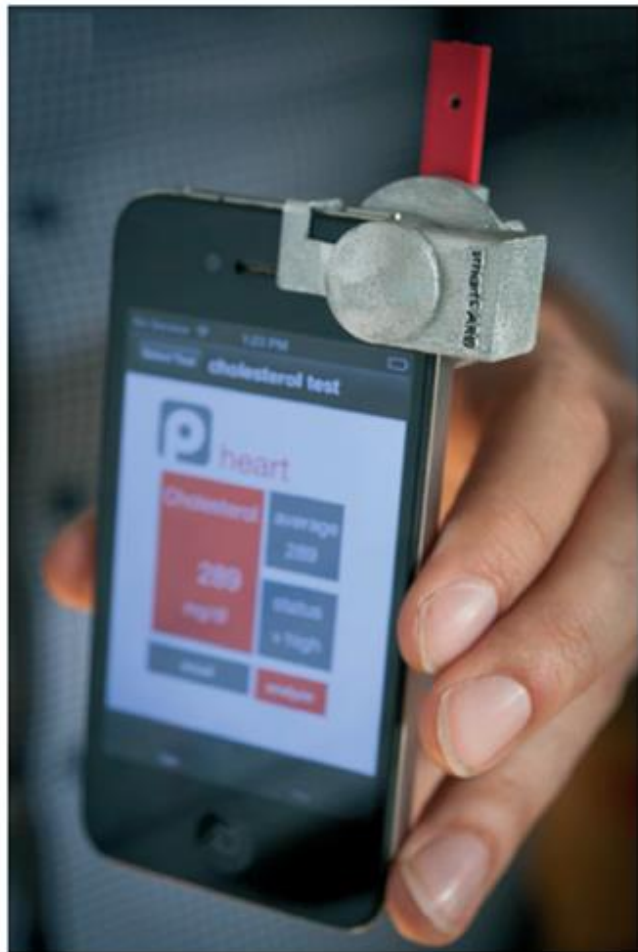


- Claudio Berli
Investigador Independiente
del CONICET (INTEC)
Profesor Titular de la FICH, UNL

i. Chips “listos para usar” (POC, health care)



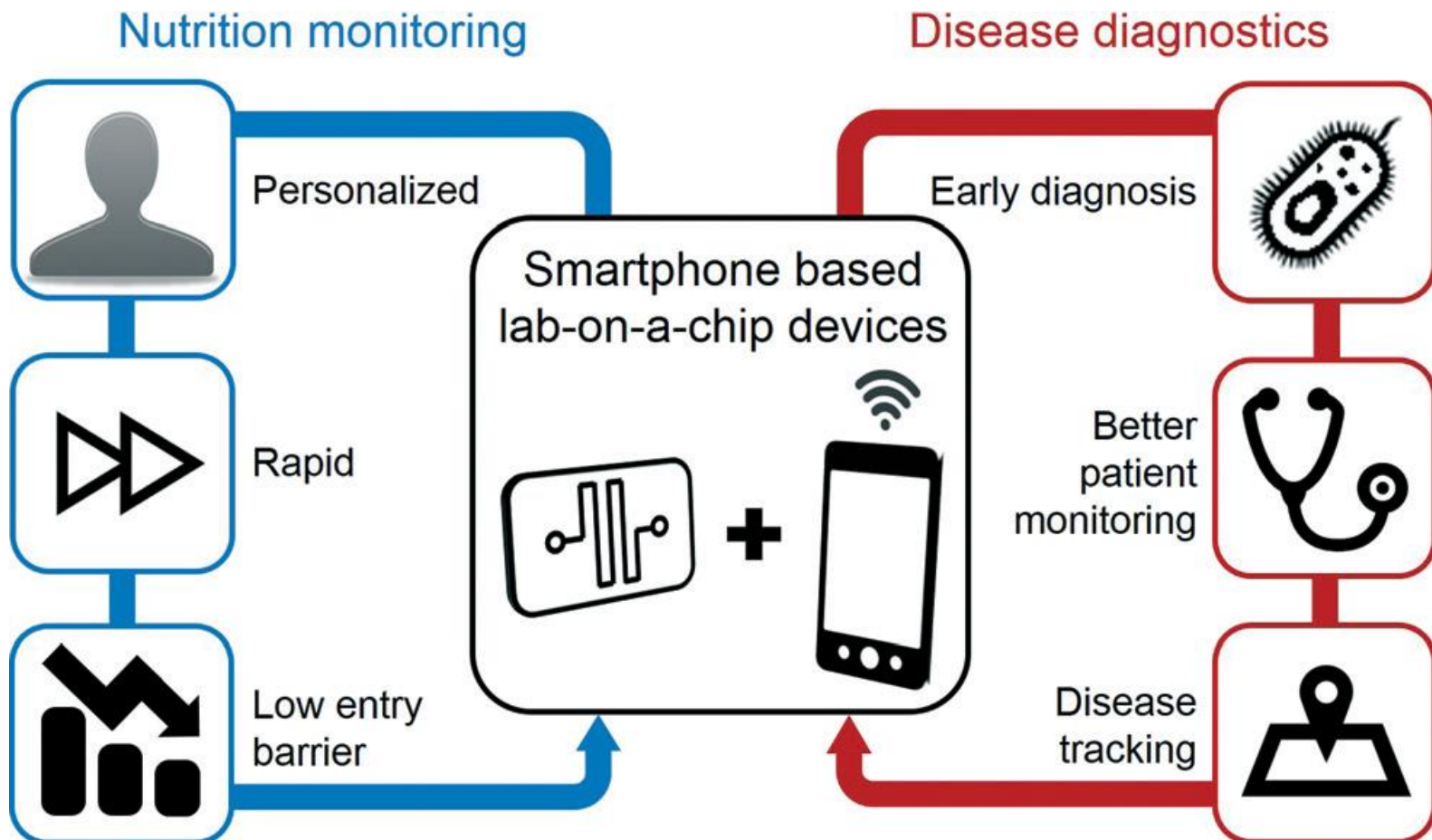
i. POC + telefonía móvil: mHealth



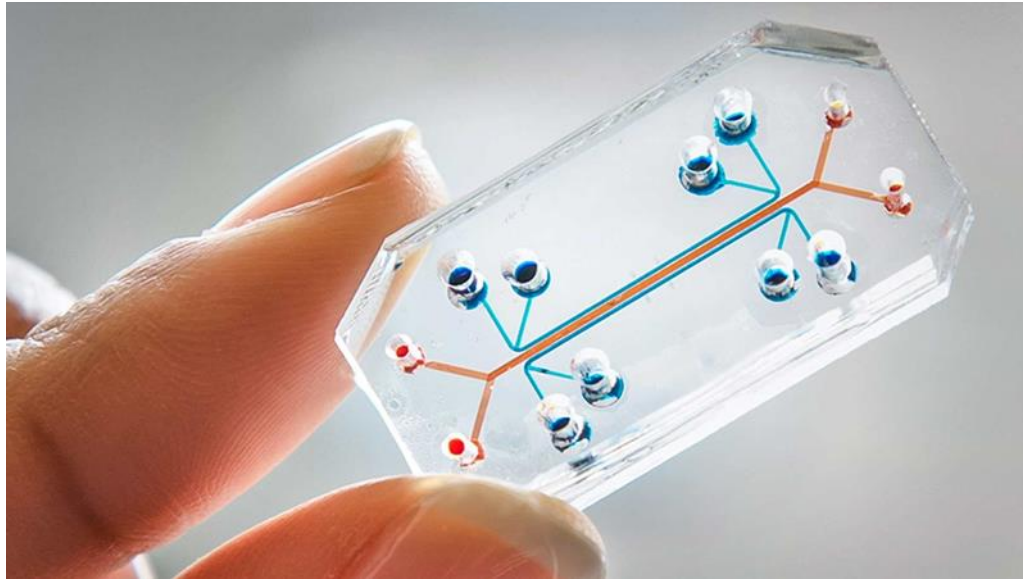
Erickson et al.,
Lab Chip **14** (2014) 3159

Laksanasopin et al., *Science Trans Med* **7** (2015) 273

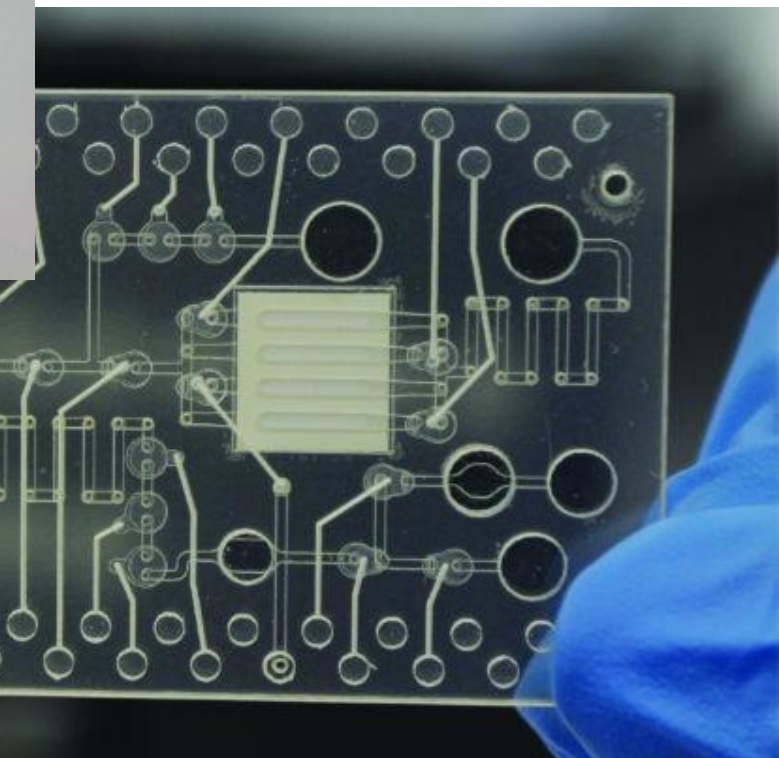
i. Microfluídica y *mHealth*



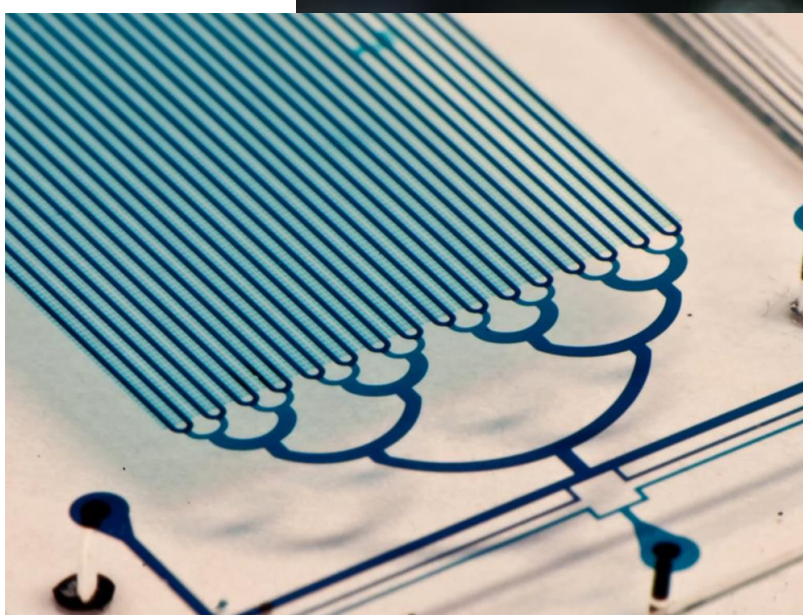
i. Chips para especialistas (labs)



Elveflow

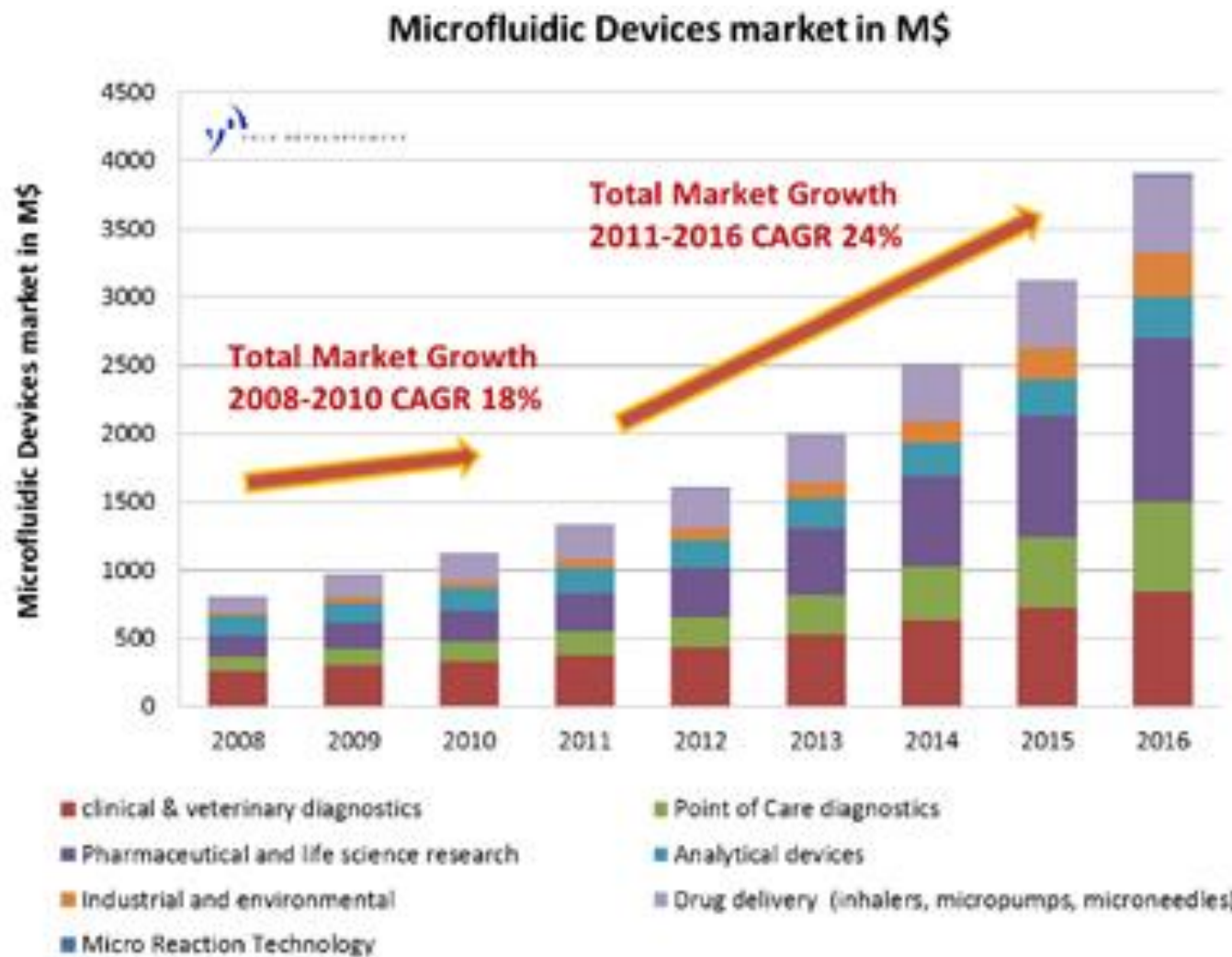


CytoFluidix

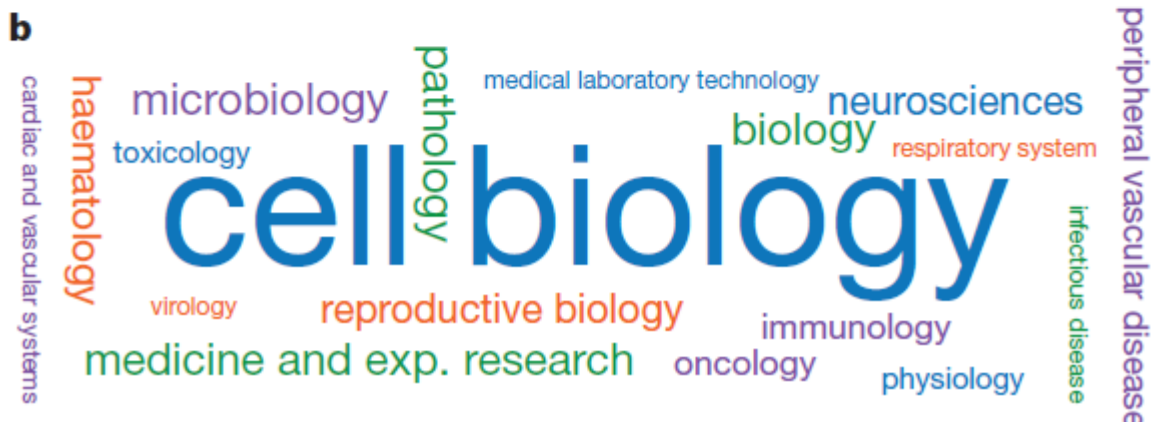
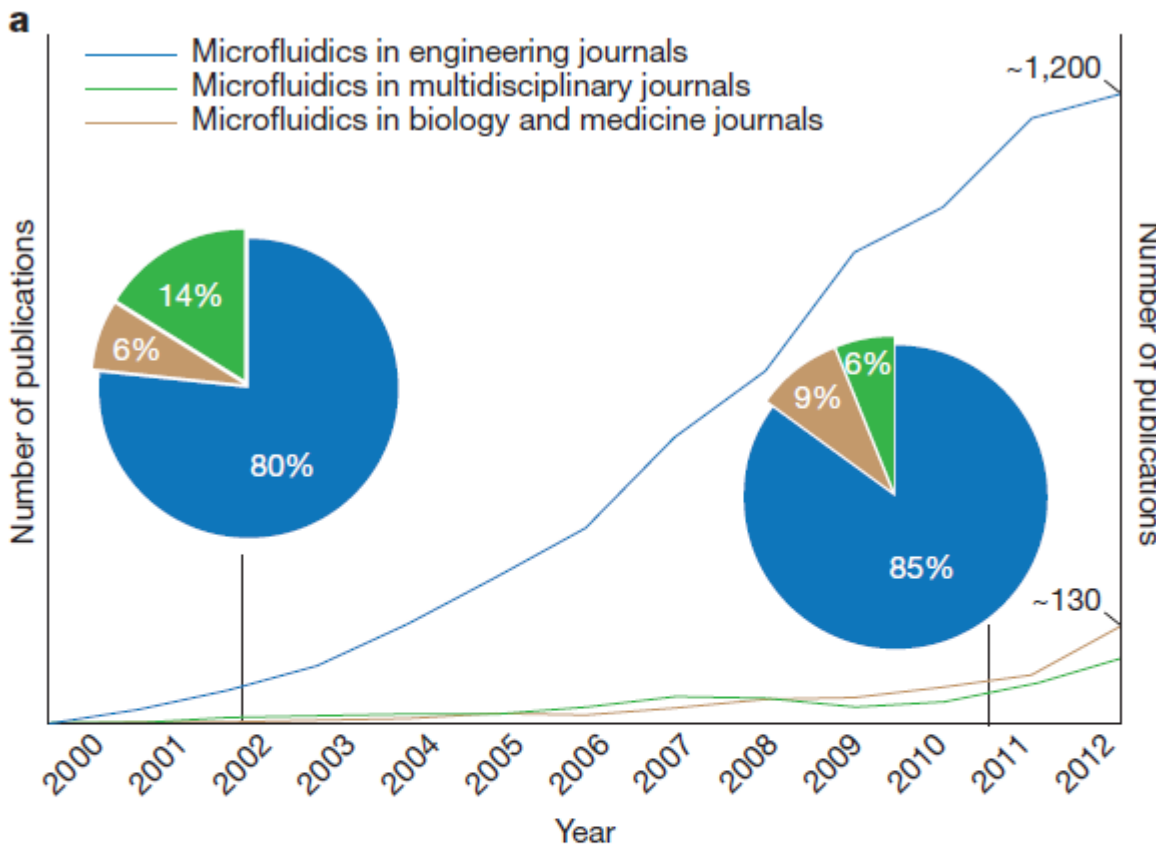


Dolomite

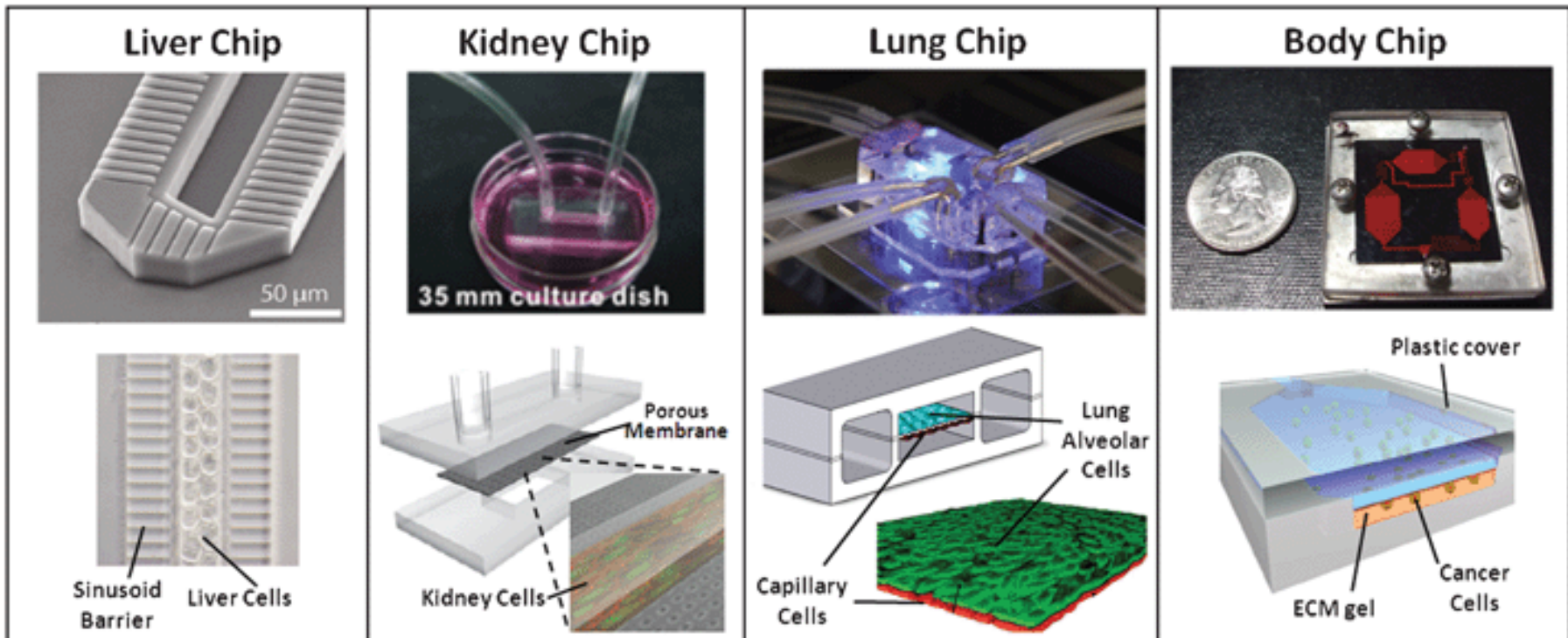
i. Mercado asociado a la microfluídica



i. Publicaciones en microfluídica

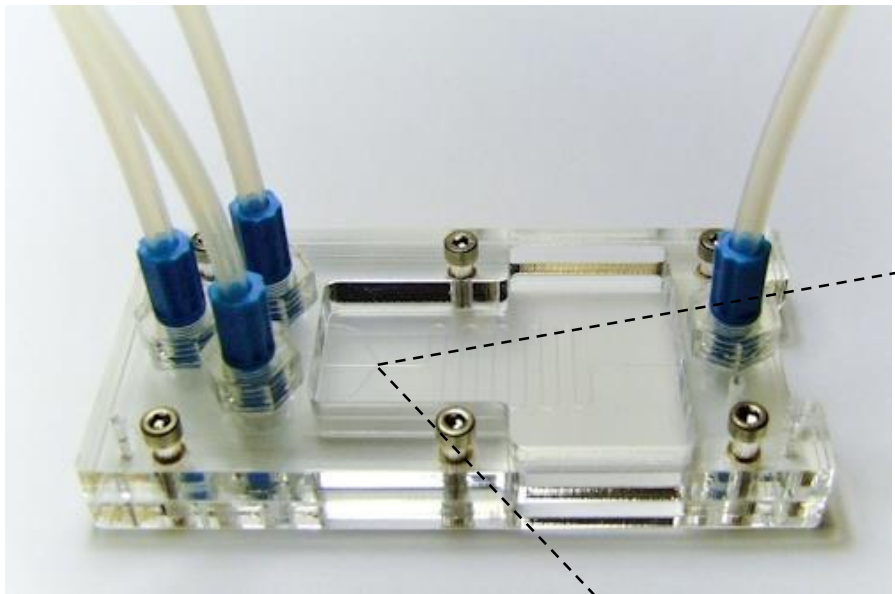


i. Hot topic: órganos en chips

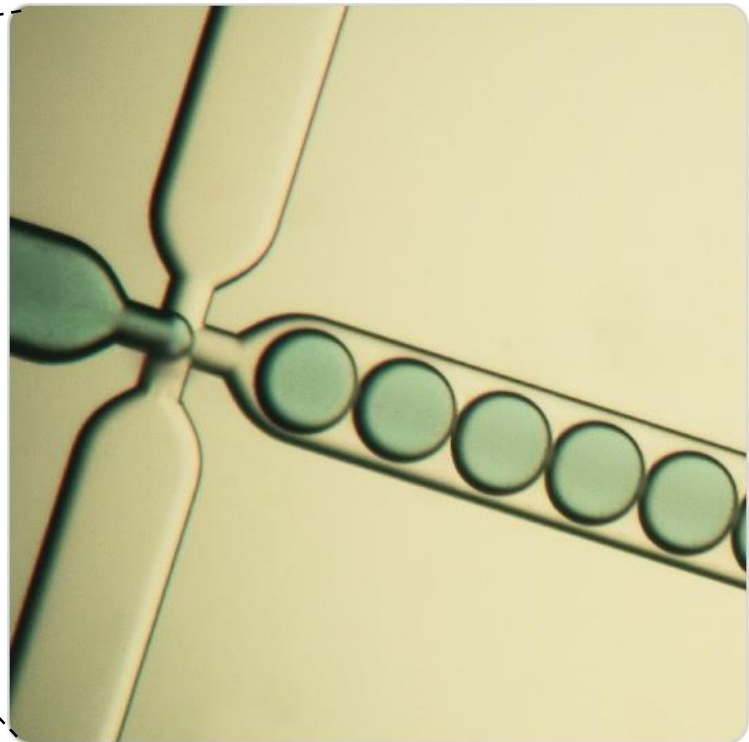


Huh et al., *Lab Chip* **12** (2012) 2156

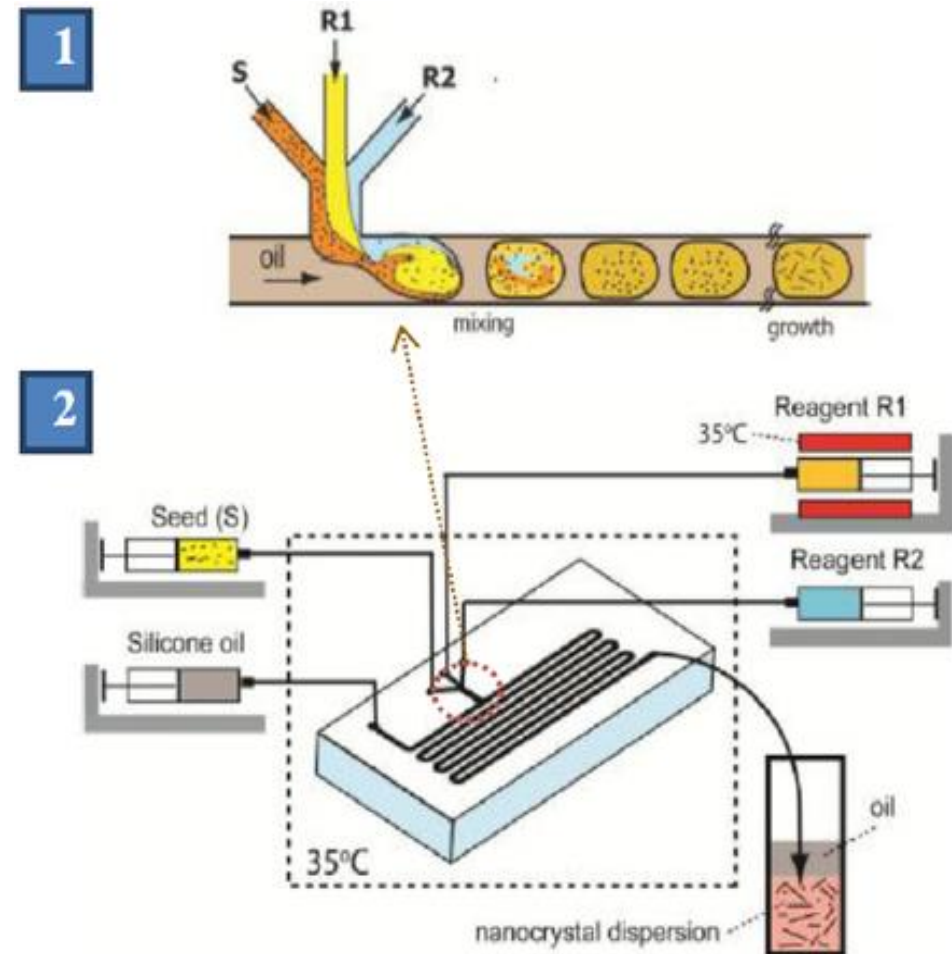
i. Microgotas: una gran ventaja de la microfluídica



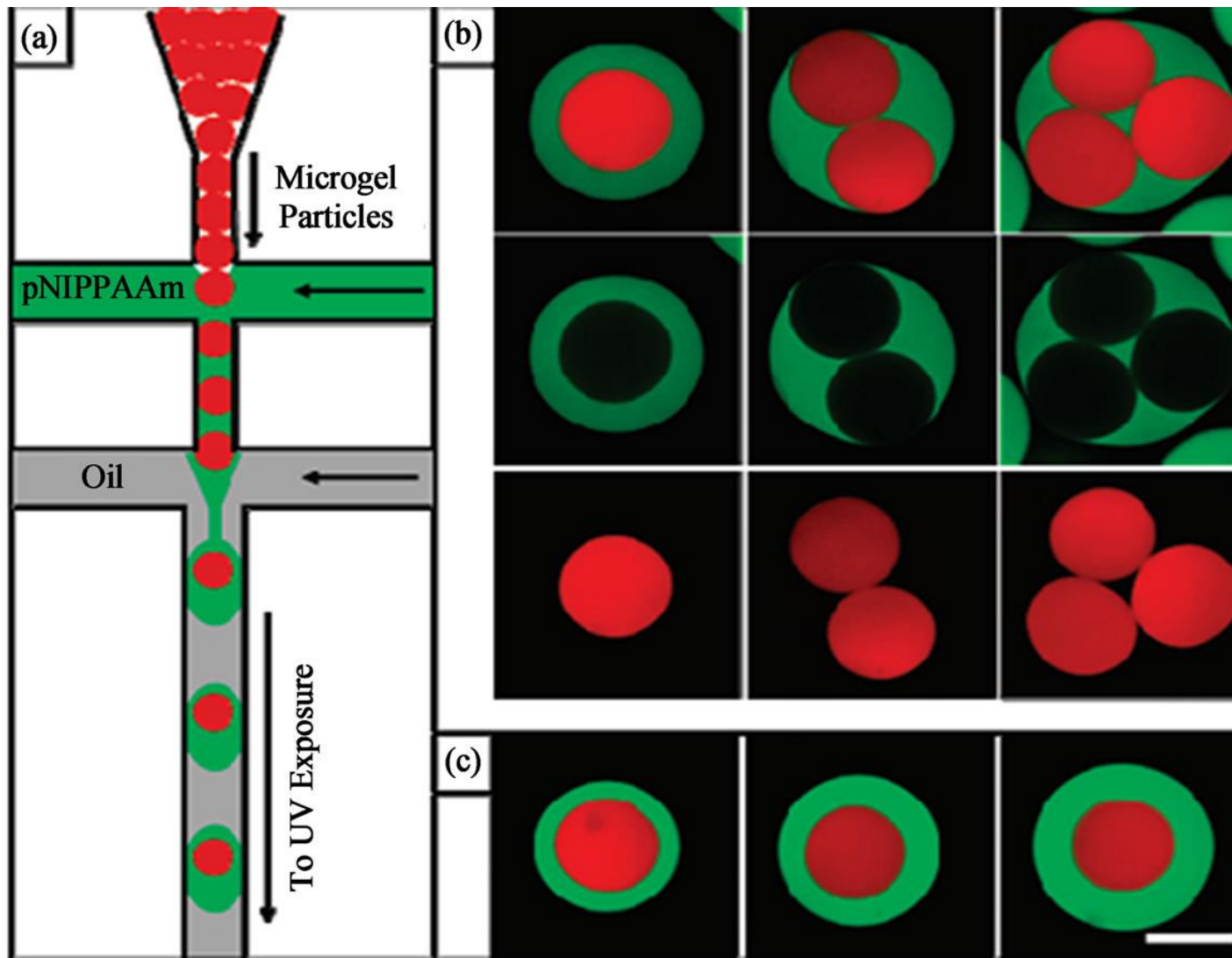
dolomite-microfluidics.com



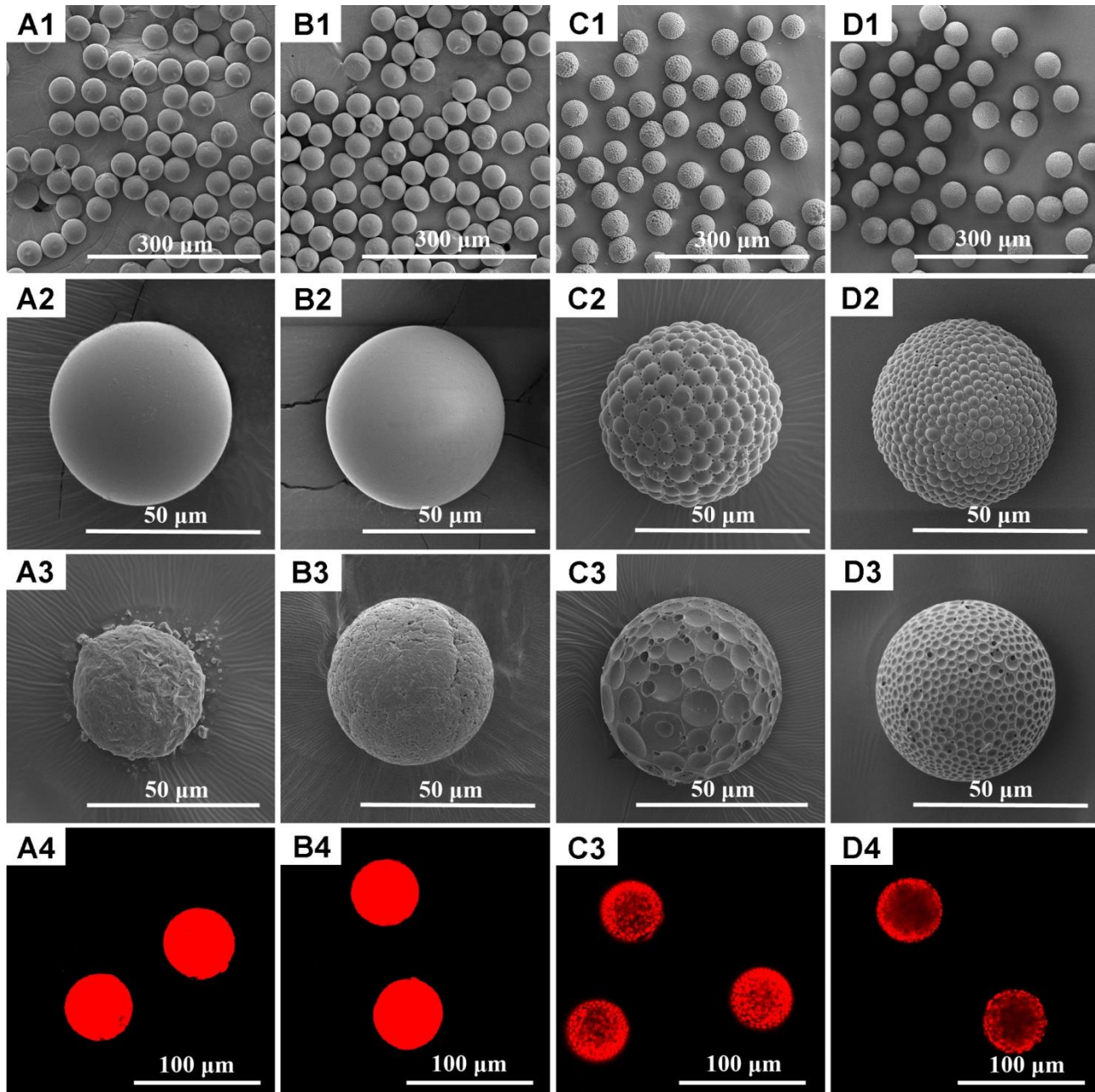
i. Nanopartículas/nanocristales



i. Partículas: microgeles, cápsulas, múltiples



i. Partículas con gran precisión



i. Partículas activas!

A Journal of the Gesellschaft Deutscher Chemiker

Angewandte Chemie

International Edition

GDCh

www.angewandte.org

2012-51/16

A highly active ...

... nanoreactor has been synthesized by encapsulating dendritic platinum nanoparticles inside a hollow porous silica capsule. V. Salgueirino, M.A. Correa-Duarte, and co-workers show in their Communication on page 3877 ff. that hydrazine reduces nickel ions (both reactants from outer solutions) in the presence of dendritic Pt nanoparticles, allowing the formation of metallic Ni nanoparticles inside the cavity of the nanoreactor and opening the door for confined catalysis.

WILEY-VCH

www.advfnlmat.de

ADVANCED FUNCTIONAL MATERIALS

ChemComm

Chemical Communications

RSC Publishing

Nanoscale

RSC Publishing

small

NANO MICRO

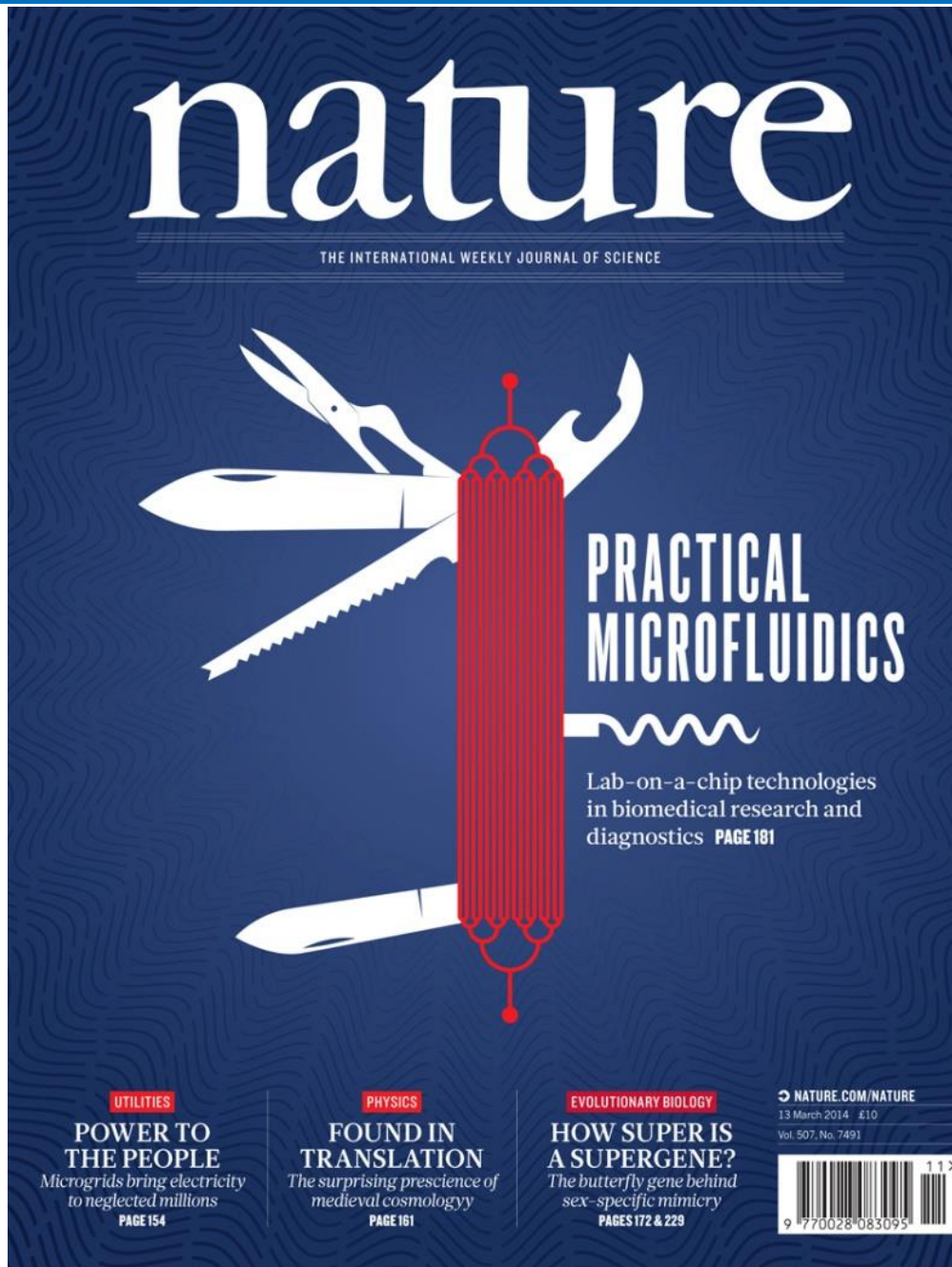
www.small-journal.com

10/2009

Surfactant-Catalytically Active Polyisobutylene Nanoreactors by Flow Cytometry
J.-L. M. Cornelissen, J. C. W. van Hest, et al.

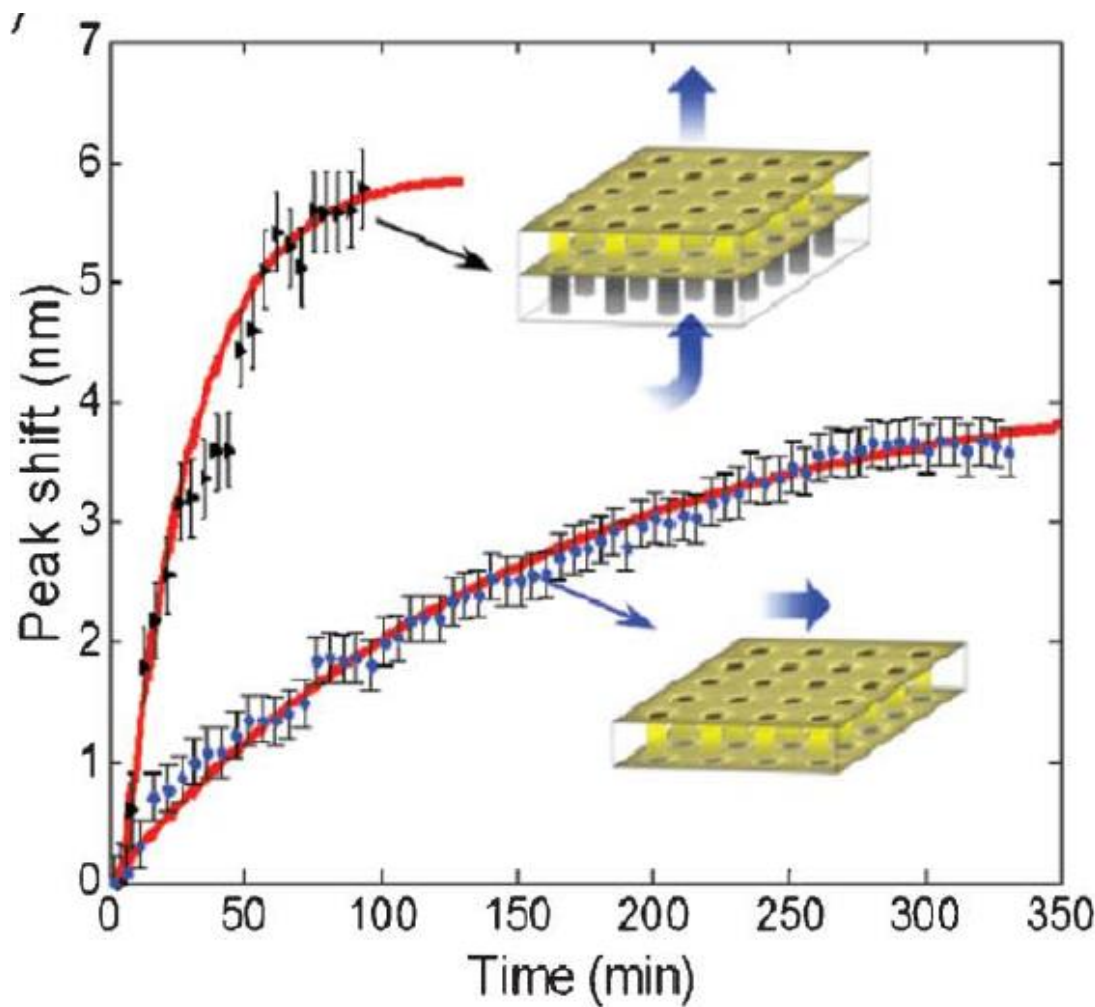
© WILEY-VCH

i. Microfluídica: una herramienta de laboratorio!



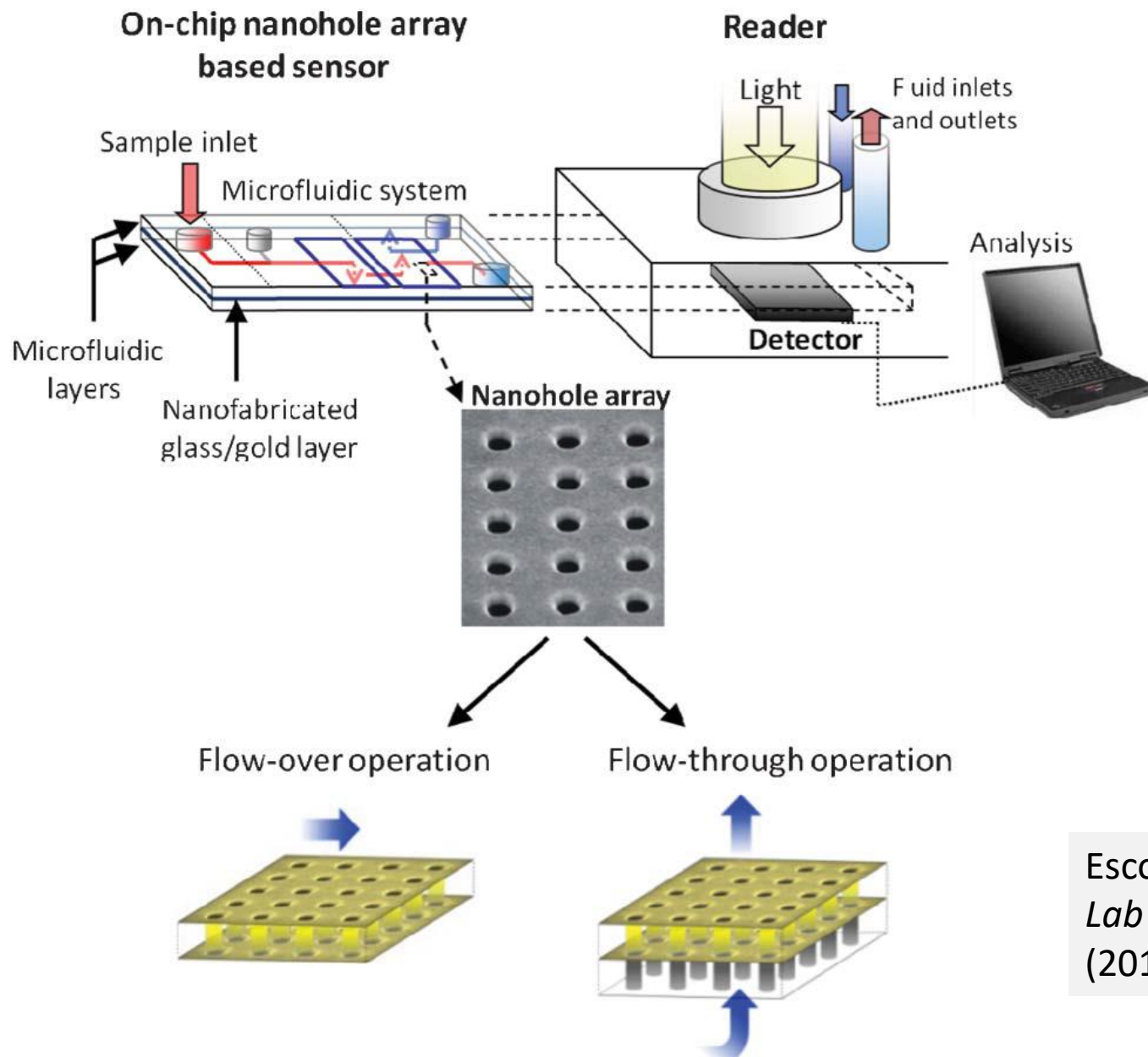
Nature 507,
March 2014

i. ¿Por qué microfluídica en nano-ciencia/tecnología?



Escobedo,
Lab Chip 13
(2013) 2445

i. Porque es la conexión con el mundo macro...



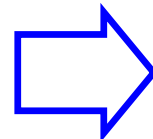
Escobedo,
Lab Chip 13
(2013) 2445

Segunda parte

- ▶ *i.* Introducción
- ▶ *ii.* Circuitos de microcanales
 - ▶ Fundamentos y abordaje académico
 - ▶ Navier-Stokes, regímenes de flujo
 - ▶ Perfiles de velocidad 1D
 - ▶ Relaciones flujo-fuerza
 - ▶ Redes de microcanales
 - ▶ Co-flujos (juntura Y, juntura X, aplicaciones)
 - ▶ Flujos 2D y 3D: simulación
- ▶ *iii.* Ejemplo: nuevos materiales

ii. ¿Para qué estudiar los fundamentos?

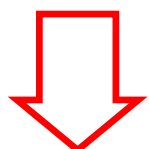
**fundamentos
y modelado**



**simulación,
diseño y
fabricación**

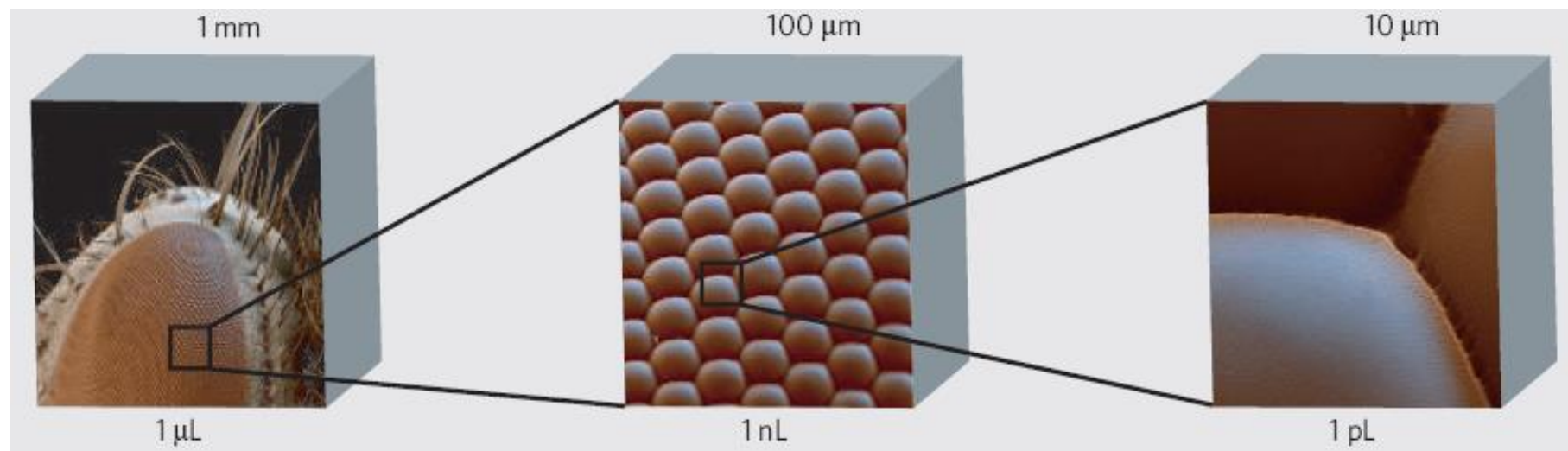


**operación
de los chips**

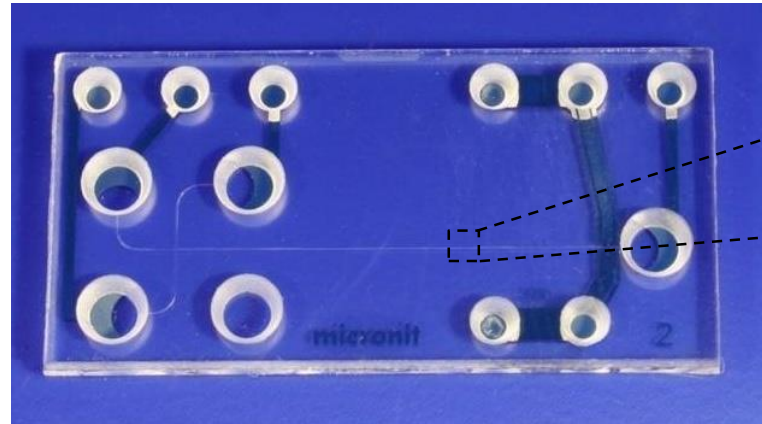


nuevos conocimientos

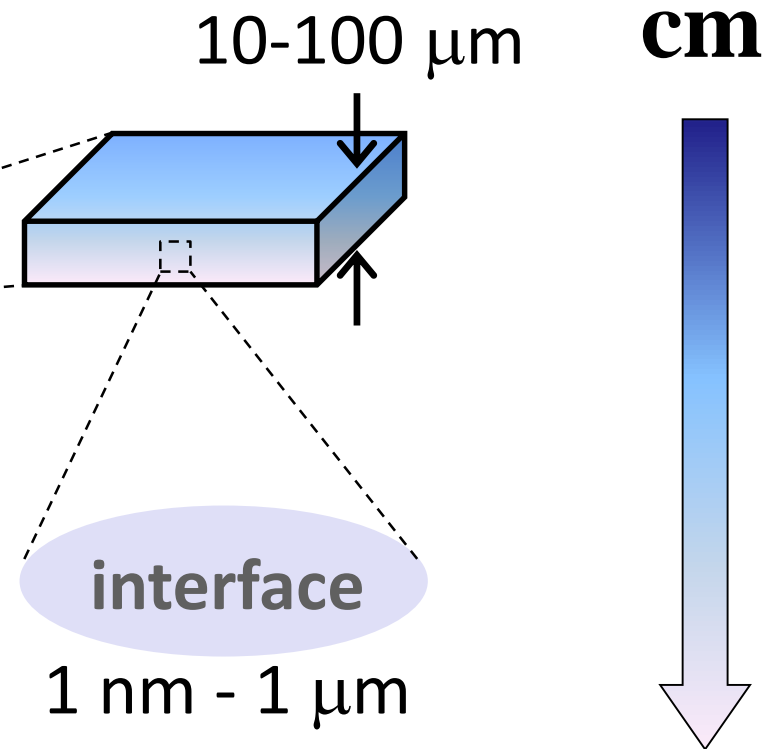
ii. Escalas de la microfluídica



ii. Dimensiones características



↔
1 mm- 10 cm

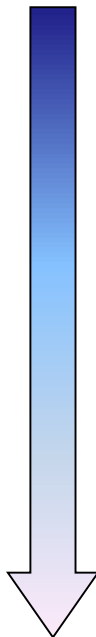


Multi-escala

Multi-física

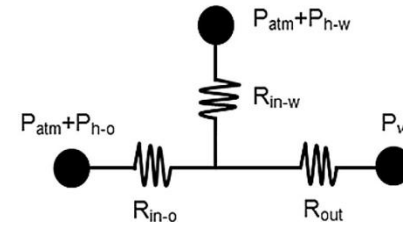
ii. Escalas y métodos de abordaje

cm



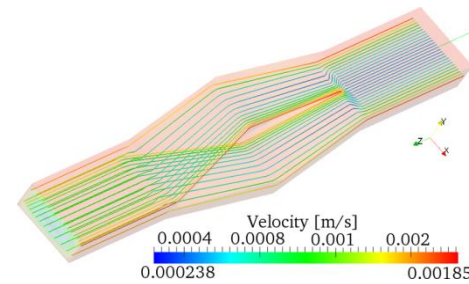
System level

Equivalent circuit theory



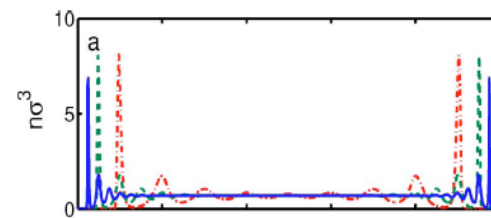
Macroscopic

Continuum equations
Transport phenomena



Mesoscopic

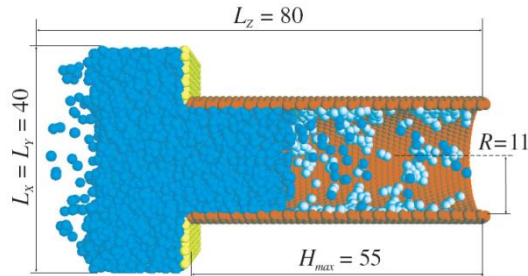
Lattice Boltzmann
Dissipative dynamics



nm

Microscopic

Molecular dynamics
Monte Carlo



ii. Breve historia académica

Happel and Brenner (1965) **Low Re Number Hydrodynamics**
Batchelor (1977) **Microhydrodynamics**
Probstein (1989) **Physicochemical Hydrodynamics**

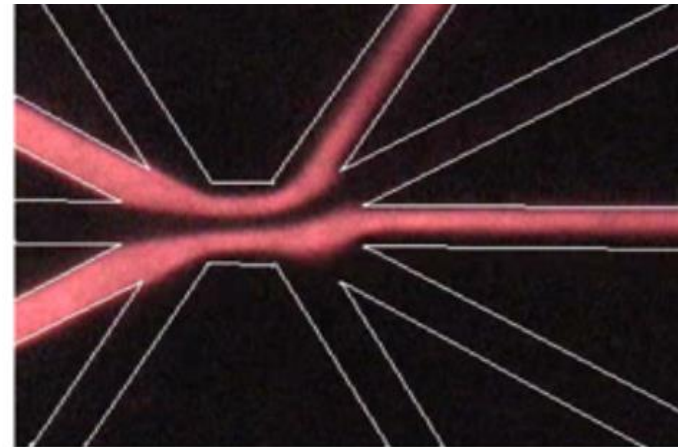
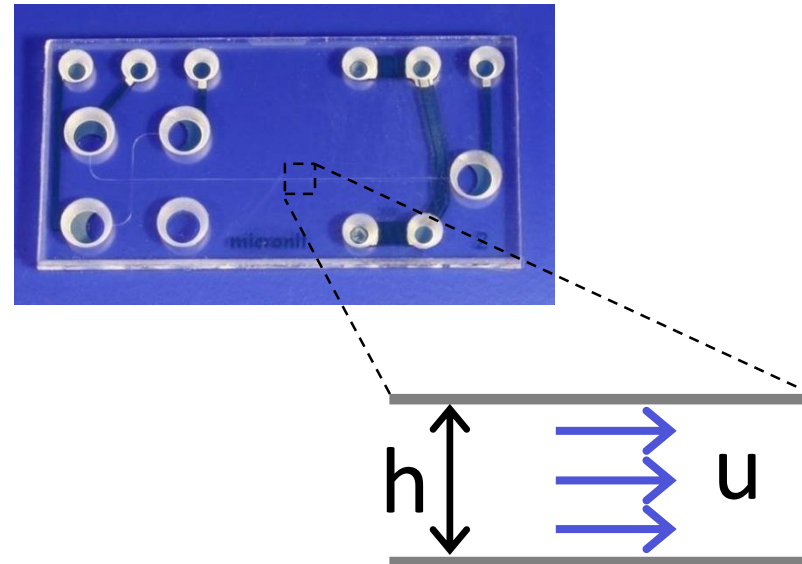
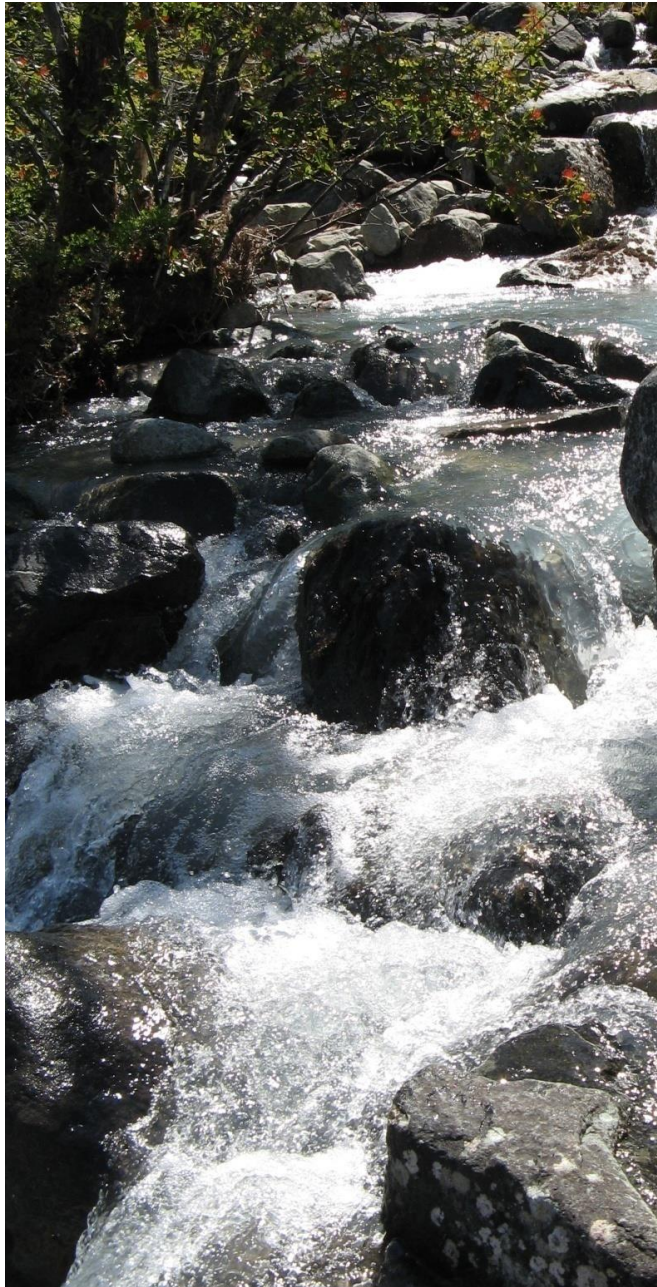
Karnidiakis and Beskok (2002) **Microflows**
Tabeling (2005) **Introduction to Microfluidics**
Bruus (2008) **Theoretical Microfluidics**

Lab-on-a-Chip (RCS, 2000)

Microfluidics and Nanofluidics (Springer, 2004)

Biomicrofluidics (AIP, 2007)

ii. Propiedades de los flujos confinados



Pan et al, *JMM* **17** (2007) 820

ii. Reynolds, Navier y Stokes

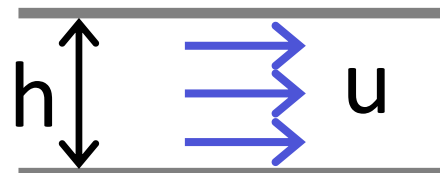
Newtoniano
incompresible
isotérmico

$$\nabla \cdot \mathbf{u} = 0$$

Navier, 1785-1836
Stokes, 1819-1903

$$\rho \left(\frac{d\mathbf{u}}{dt} + \mathbf{u} \cdot \nabla \mathbf{u} \right) = -\nabla P + \mu \nabla^2 \mathbf{u}$$

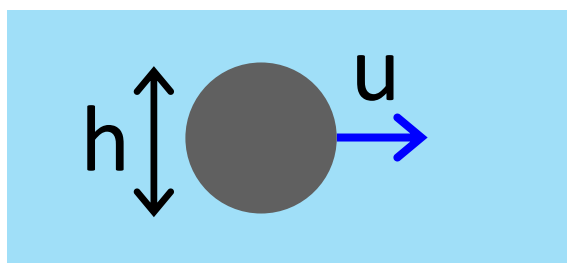
Reynolds, 1842-1912



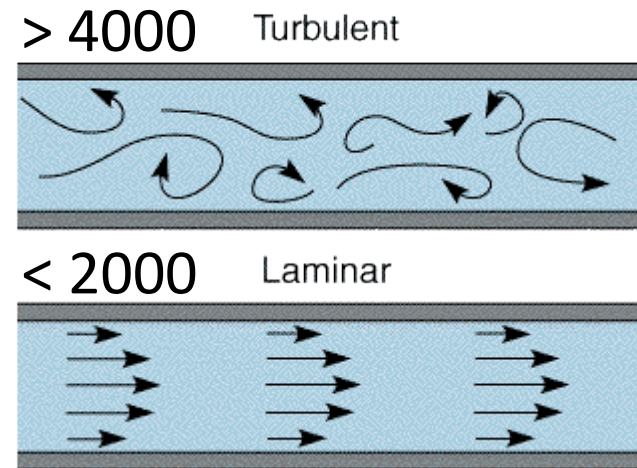
$$Re = \frac{\rho u h}{\mu}$$

ii. Reynolds, Navier y Stokes

$$Re = \frac{\rho u h}{\mu}$$



> 90 separated
> 5 unseparated
< 1 creeping



Re < 1

- Regimen de Stokes
- Sin aceleración, reversible
- Alta viscosidad, baja velocidad
- → o altamente confinado

ii. Regímenes de flujo



$$\text{Re} \sim 10^3$$

- Inviscido
- Energía mecánica
- En tuberías: Bernulli, 1739



$$\text{Re} \sim 10^{-5}$$

- Velocidad constante
- Microorganismos
- Microcanales

ii. Regímenes de flujo

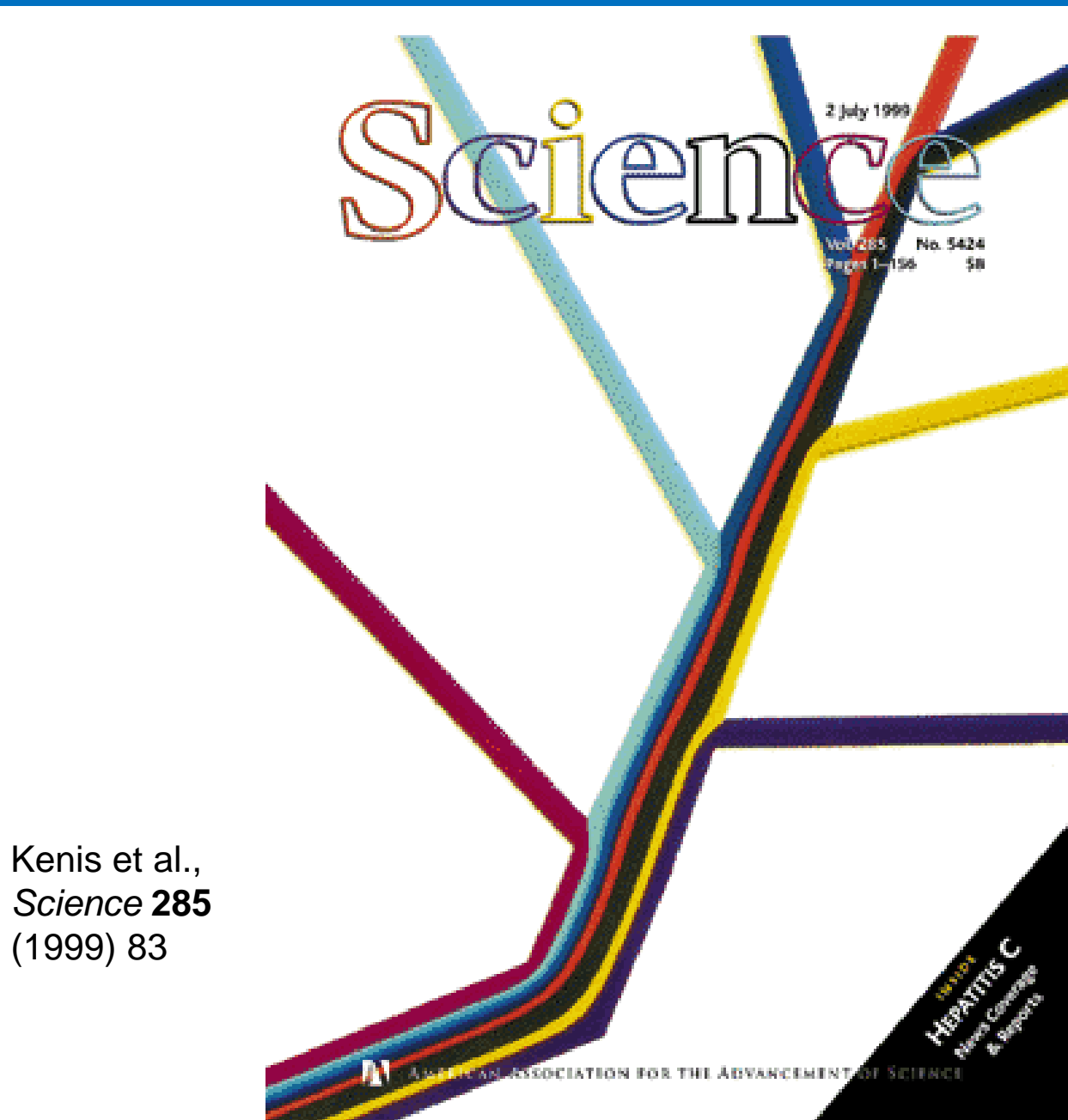


$$\tau_s = \frac{\rho h^2}{\mu} \sim ms$$

$Re \sim 10^{-2}$



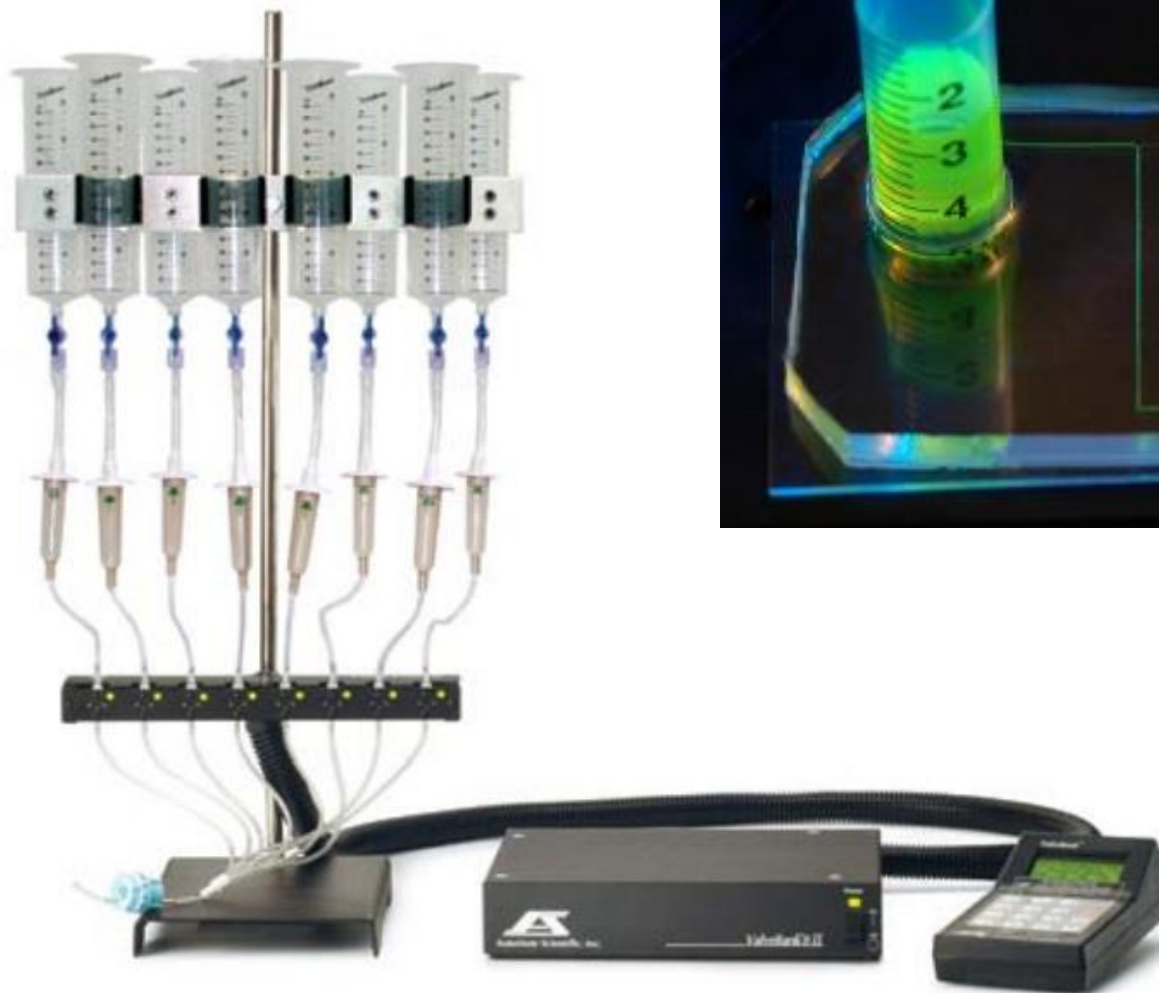
ii. El sello de la microfluídica



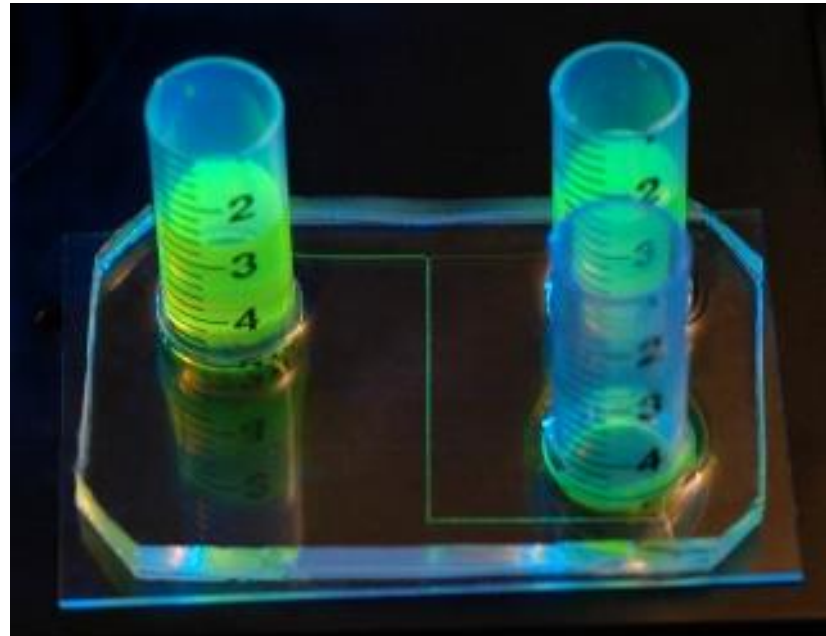
Kenis et al.,
Science **285**
(1999) 83

COVER
Seven aqueous streams, each colored with a different dye, converge in a microchannel and proceed in parallel laminar flow, without turbulent mixing.
[© F. Frankel]

ii. Bombeo elemental: control la presión

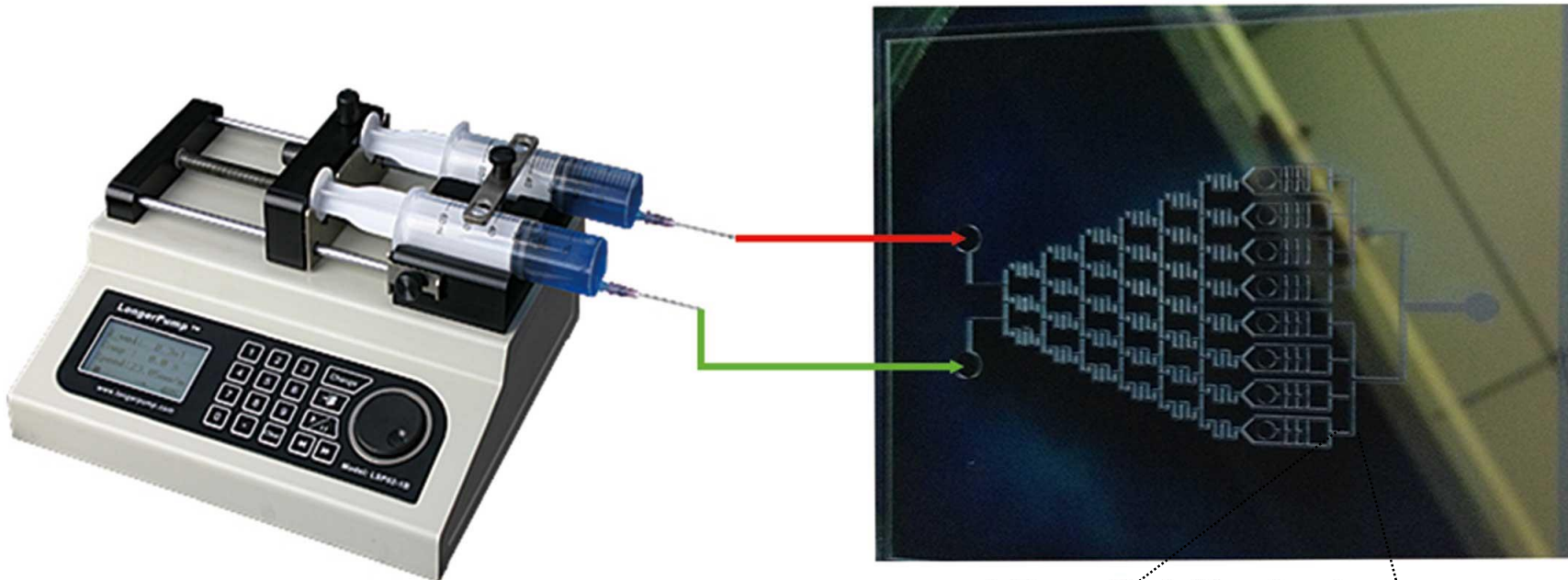


elvflow.com



umech.mit.edu

ii. Flujos inducidos por presión



Syringe pump

Microfluidic device

$$-\frac{\partial P}{\partial z} = \frac{\Delta P}{\ell}$$

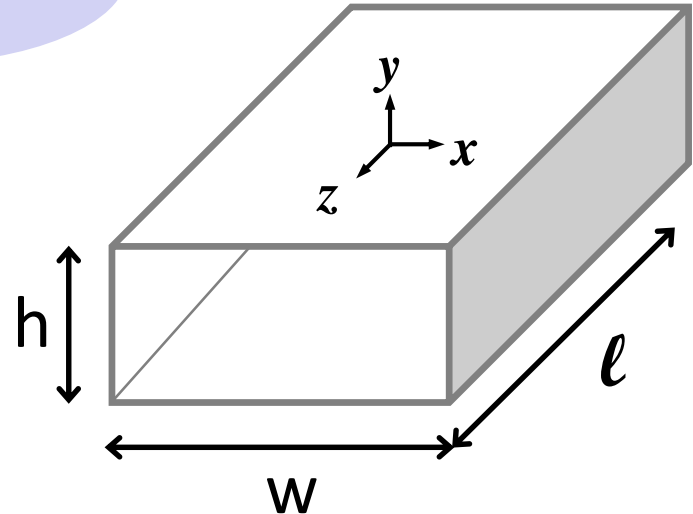


ii. Flujo en canales rectangulares

$$\nabla P = \mu \nabla^2 \mathbf{u}$$

Re << 1, ftd

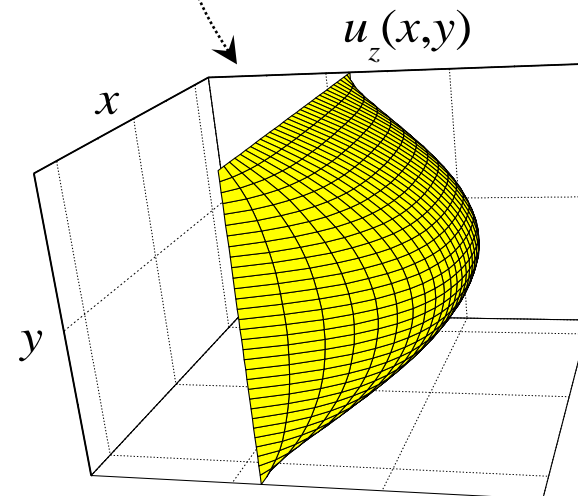
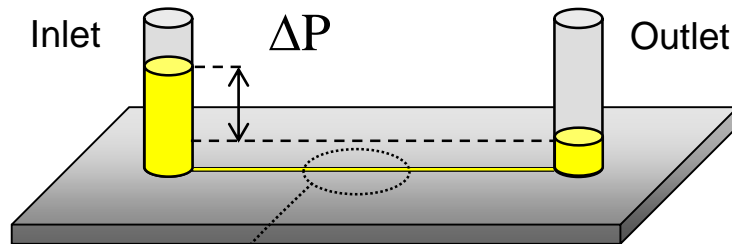
$$\frac{\partial P}{\partial z} = \mu \left(\frac{\partial^2 u_z}{\partial x^2} + \frac{\partial^2 u_z}{\partial y^2} \right)$$



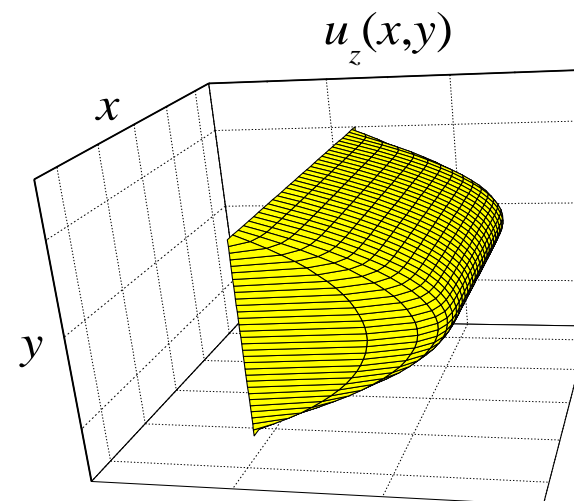
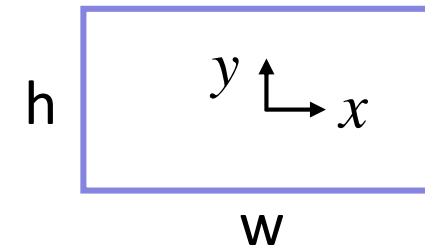
$$u_z(x, y) = \frac{h^2 \Delta P}{8\mu \ell} G(x, y)$$

$$G(x, y) = 32 \sum_{m=1}^{\infty} \frac{(-1)^{m+1}}{\beta_m^3} \left(1 - \frac{\text{ch}(\beta_m x/h)}{\text{ch}(\beta_m w/2h)} \right) \cos(\beta_m y/h)$$

ii. Perfiles de velocidad



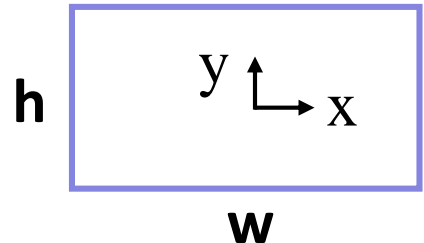
$$h/w = 2/5$$



$$h/w = 1/10$$

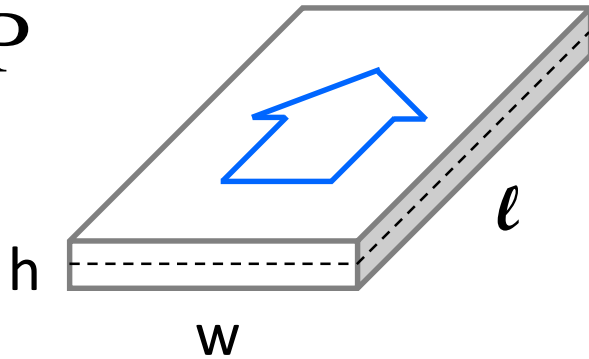
ii. Caudal volumétrico

$$Q = \iint u_z(x, y) dx dy$$



$$= \frac{wh^3 \Delta P}{12\mu\ell} \sum_{m=1}^{\infty} \frac{96}{\beta_m^4} \left[1 - \frac{\tanh(\beta_m w/2h)}{\beta_m w/2h} \right]$$

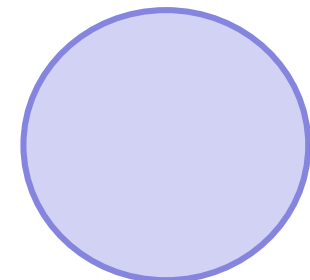
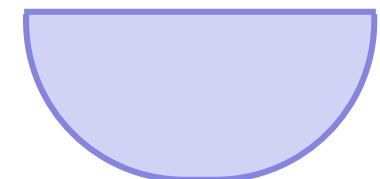
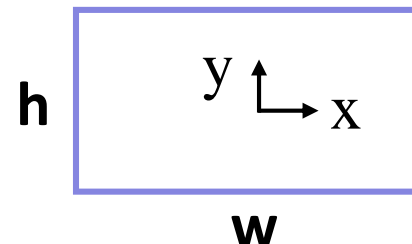
$$Q \approx \frac{wh^3}{12\mu\ell} \Delta P$$



h/w	
0.42	1/1
0.75	2/5
0.99	1/60

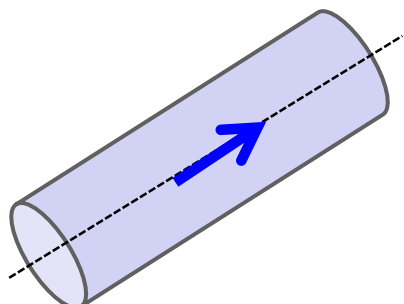
ii. Caudal vs presión

$$Q = \frac{wh^3f_G}{12\mu l} \Delta P$$



$$Q = L \Delta P$$

$$\Delta P = R Q$$



$$R = \frac{8\mu l}{\pi r^4}$$

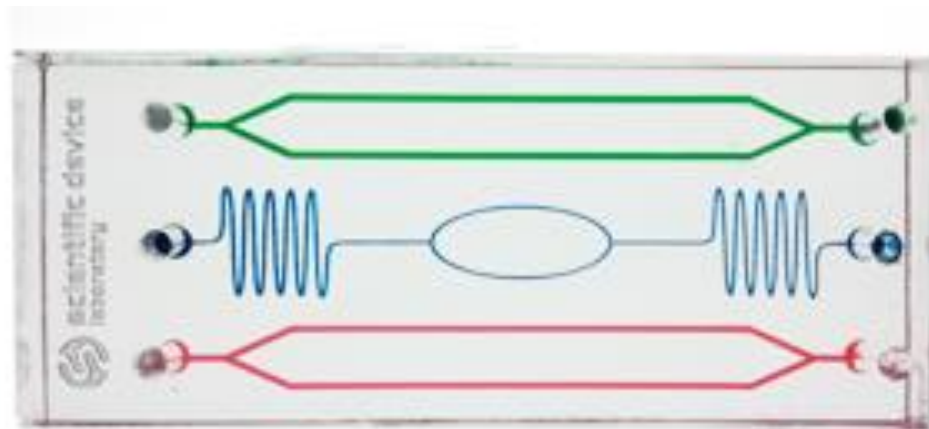
Hagen, 1838
Poiseuille, 1839

ii. Microcanales en serie/paralelo

Caso más simple: **un puerto de entrada y uno de salida**

$$Q = L_{\text{tot}} \Delta P$$

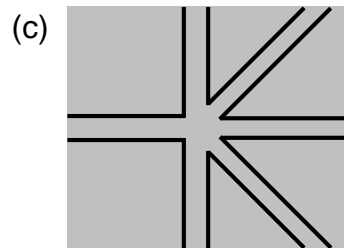
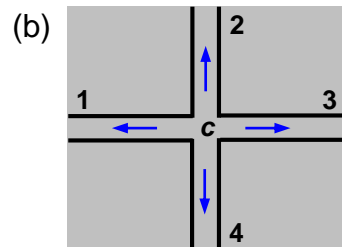
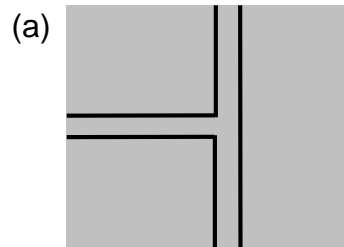
$$\Delta P = R_{\text{tot}} Q$$



$$R_{\text{ser}} = \sum_i R_i$$

$$R_{\text{par}}^{-1} = \sum_i R_i^{-1}$$

ii. Redes de microcanales



N canales/nodo

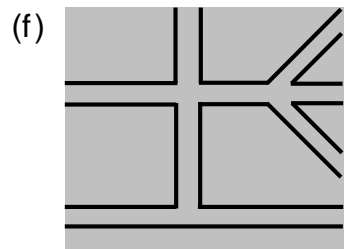
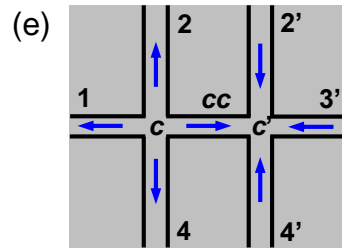
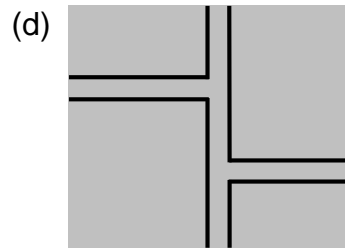
→ 1 incógnita

$$\sum_{i=1}^N Q_i = 0$$

$$\sum_{i=1}^N L_i (P_i - P_c) = 0$$

$$P_c = \sum_{i=1}^N L_i P_i / \sum_{i=1}^N L_i$$

ii. Redes de microcanales



N canales/nodo

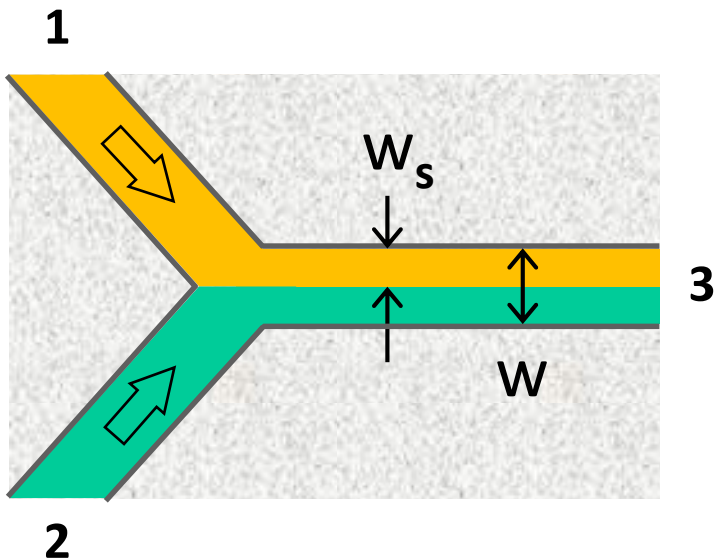
M nodos/red

→ M incógnitas

$$\sum_{i=1}^N Q_i = 0, \quad j = 1 \text{ a } M$$

$$\begin{bmatrix} \sum_{i=1}^N L_{11,i} & -L_{11,cc} \\ -L_{11,cc} & \sum_{i'=1'}^{N'} L_{11,i'} \end{bmatrix} \begin{bmatrix} P_c \\ P_{c'} \end{bmatrix} = \begin{bmatrix} \sum_{i \neq cc}^N L_{11,i} P_i \\ \sum_{i' \neq cc}^{N'} L_{11,i'} P_{i'} \end{bmatrix}$$

ii. Co-flujos, juntura Y

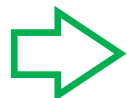


$$\frac{w_s}{w} = \frac{Q_1/Q_2}{1 + Q_1/Q_2}$$

$$P_3 = P_{\text{atm}},$$

$$L_1 = L_2 = L_3$$

$$1/2 \leq P_1/P_2 \leq 2$$

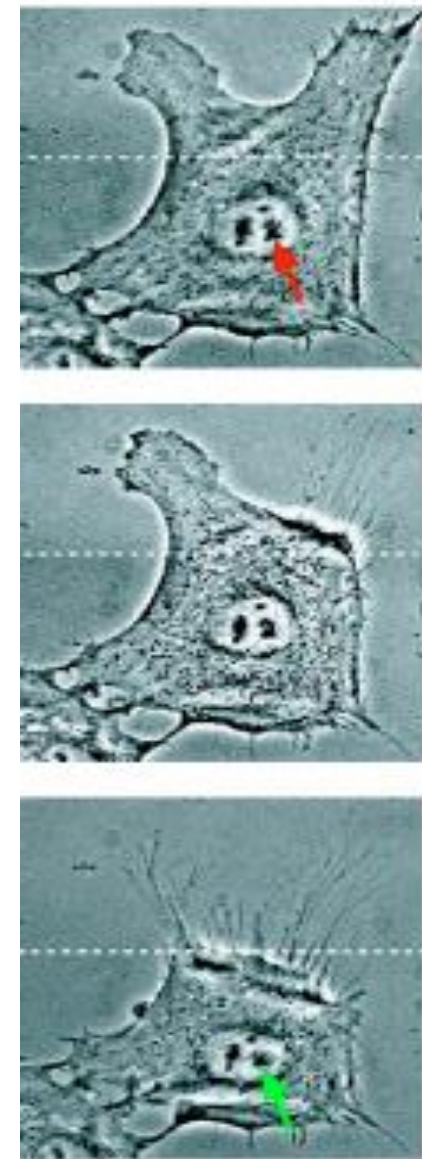


$$\frac{w_s}{w} = \frac{2 - P_2/P_1}{P_2/P_1 + 1}$$

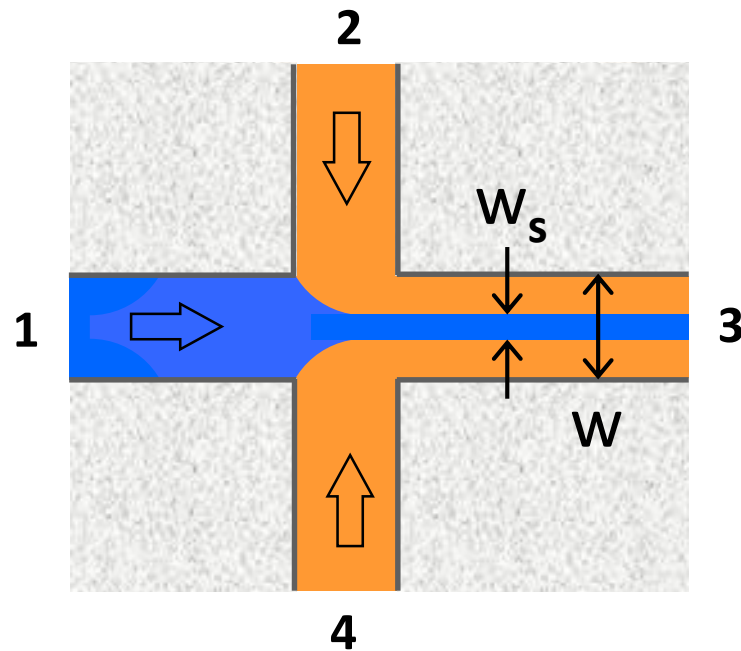
ii. Co-flujos, juntura Y: aplicaciones



NANOANDES 2017
NANOMATERIALES APLICADOS A
ENERGIA Y SALUD



ii. Co-flujos, juntura X

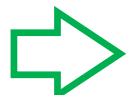


$$\frac{w_s}{w} = \frac{1}{1 + 2Q_{2,4}/Q_1}$$

$$P_3 = P_{\text{atm}},$$

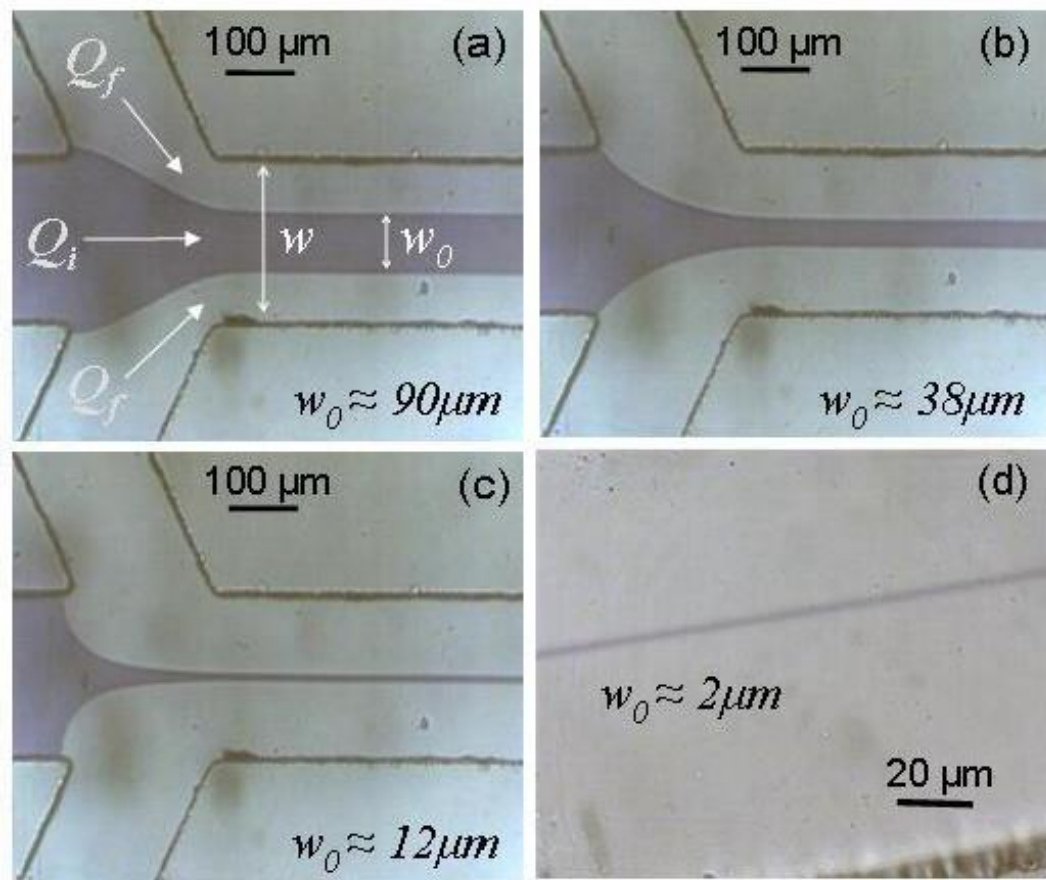
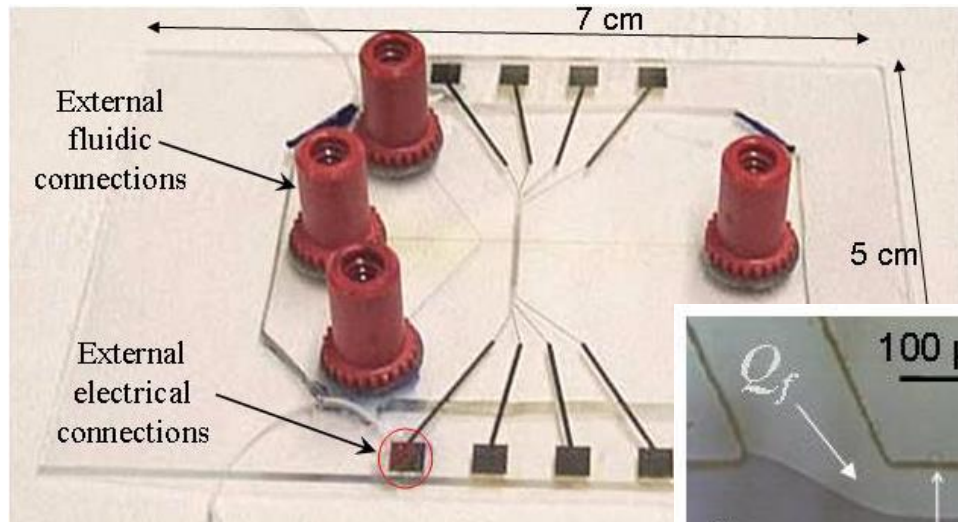
$$L_1 = L_2 = L_3 = L_4$$

$$2/3 \leq P_{2,4}/P_1 \leq 3/2$$



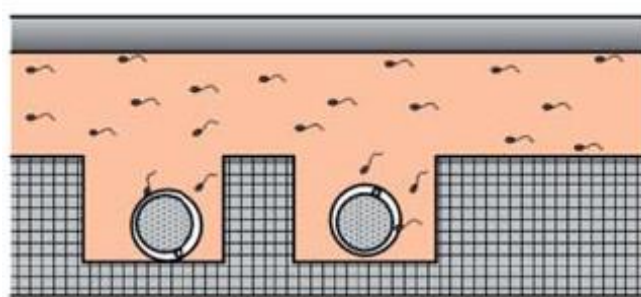
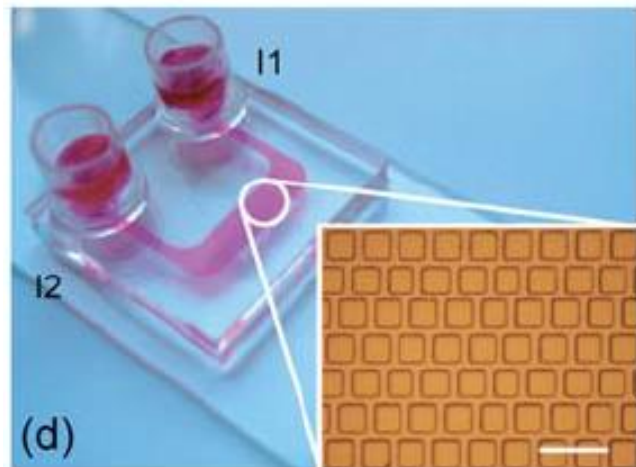
$$\frac{w_s}{w} = \frac{3/2 - P_{2,4}/P_1}{1/2 + P_{2,4}/P_1}$$

ii. Co-flujos, juntura X: aplicaciones



Rodriguez et al.,
Microfluid Nanofluid 3 (2007) 171

ii. Flujos 2D y 3D: simulación

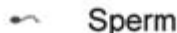


Upper layer

Lower layer



Oocyte

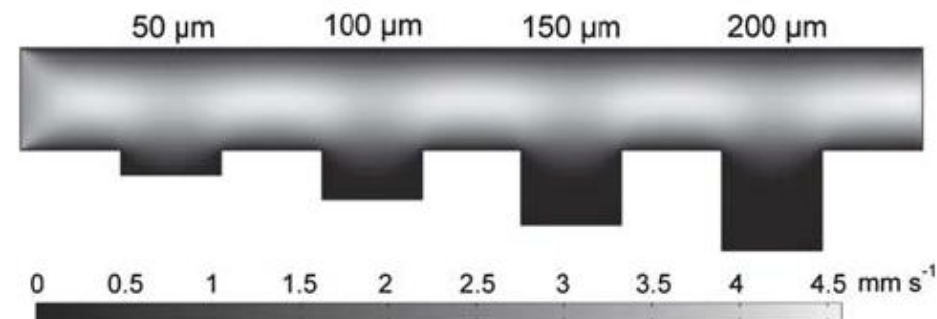


Sperm

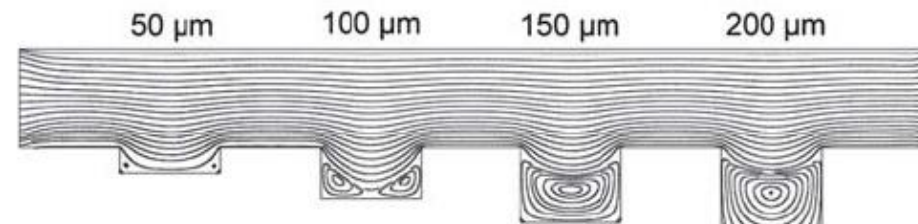
$$\nabla \cdot \mathbf{u} = 0$$

Newtoniano
incompresible
isotérmico

$$\rho \left(\frac{d\mathbf{u}}{dt} + \mathbf{u} \cdot \nabla \mathbf{u} \right) = -\nabla P + \mu \nabla^2 \mathbf{u}$$

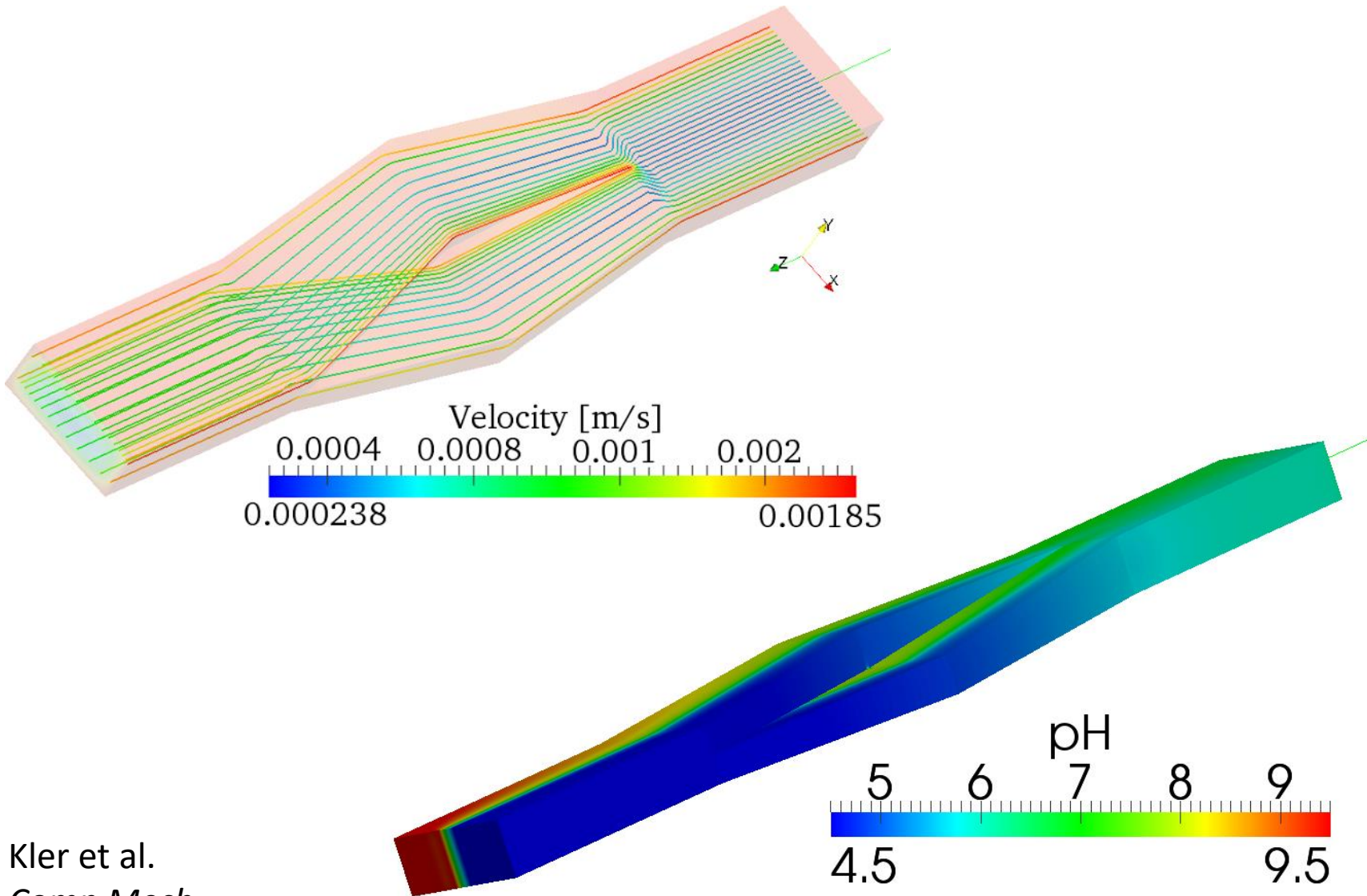


(a)

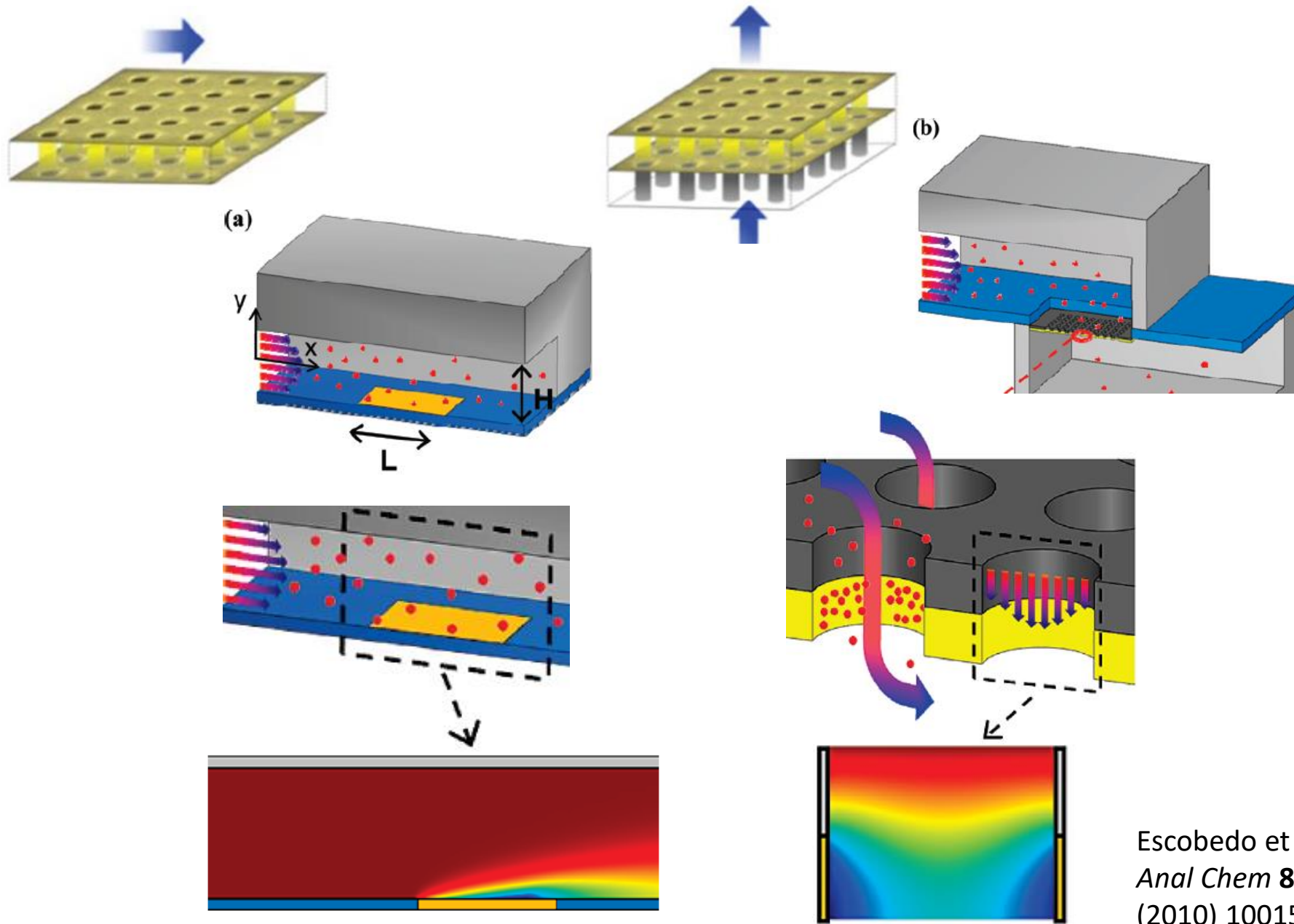


(b)

ii. Flujos 2D y 3D: simulación



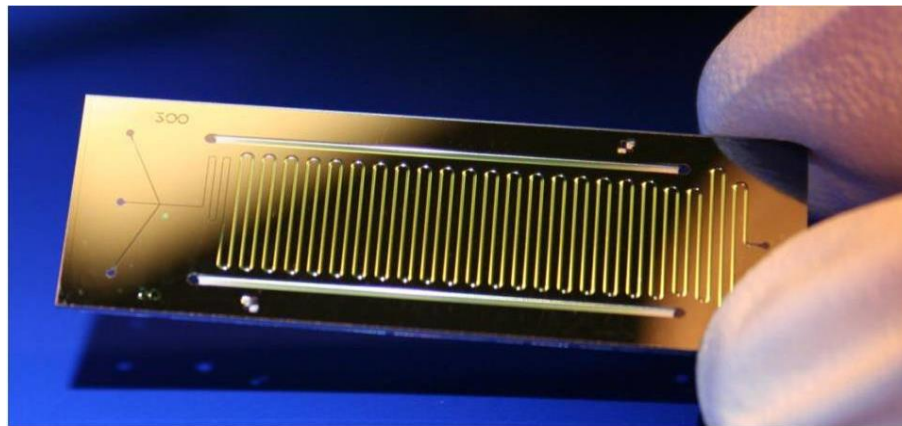
ii. Flujos 2D y 3D: simulación



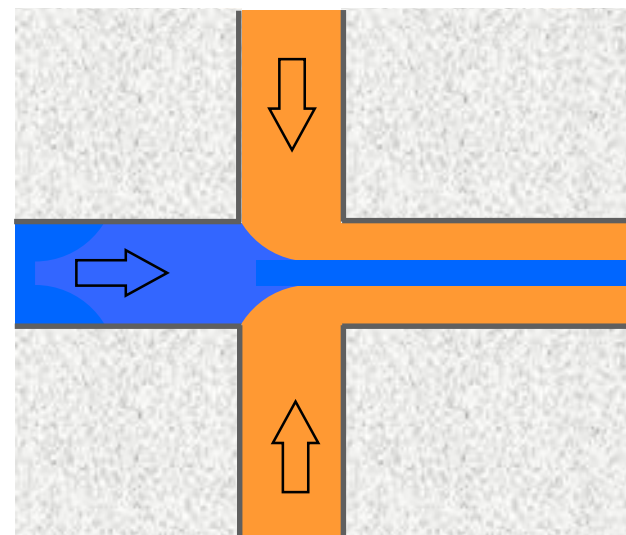
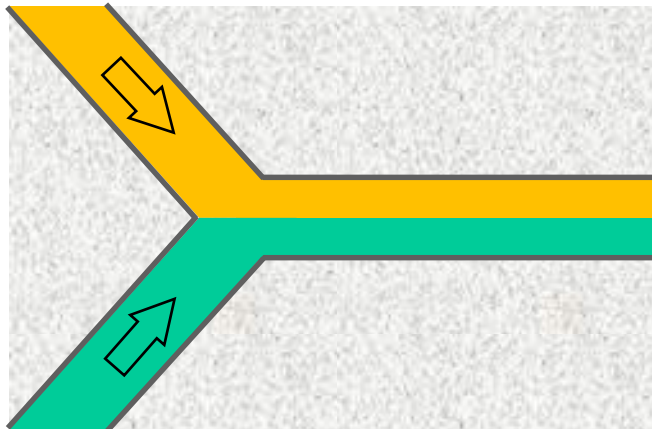
Escobedo et al,
Anal Chem 82
(2010) 10015

- ▶ *i.* Introducción
- ▶ *ii.* Circuitos de microcanales
- ▶ *iii.* Ejemplo: nuevos materiales
 - ▶ Reacciones en co-flujo
 - ▶ El problema básico: difusión molecular
 - ▶ Difusión transversal
 - ▶ Síntesis de nanomateriales
 - ▶ Un ejemplo del mundo natural

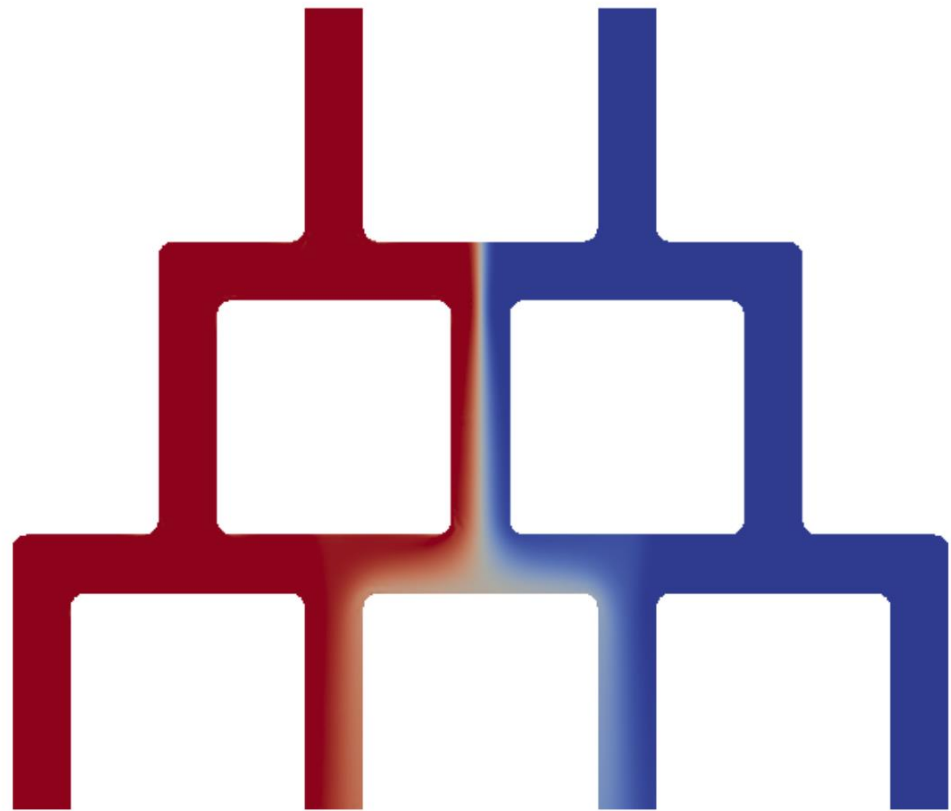
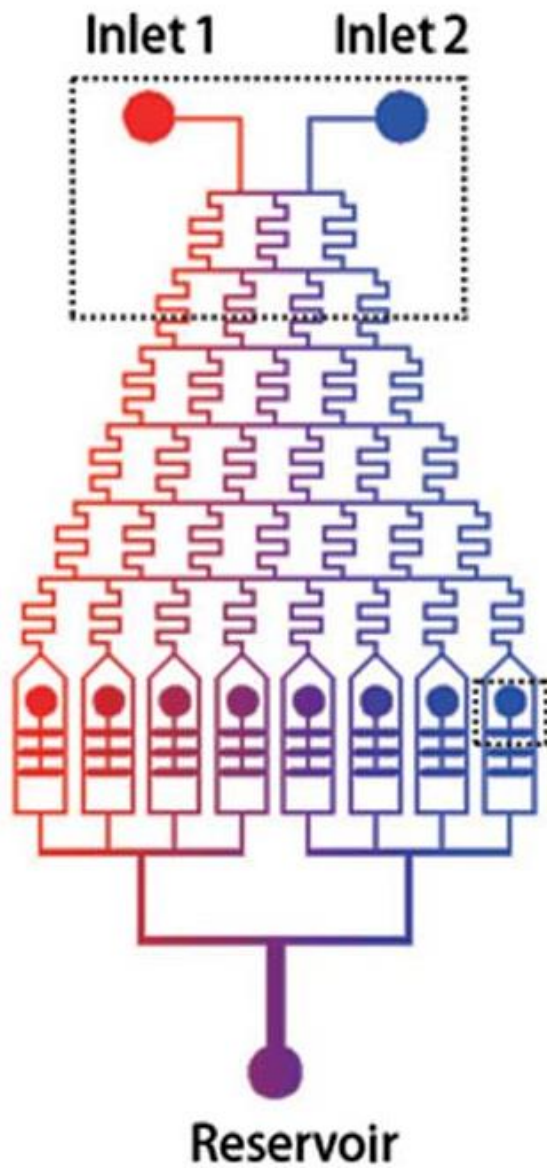
iii. Aplicaciones del problema básico: co-flujos



micronit.com

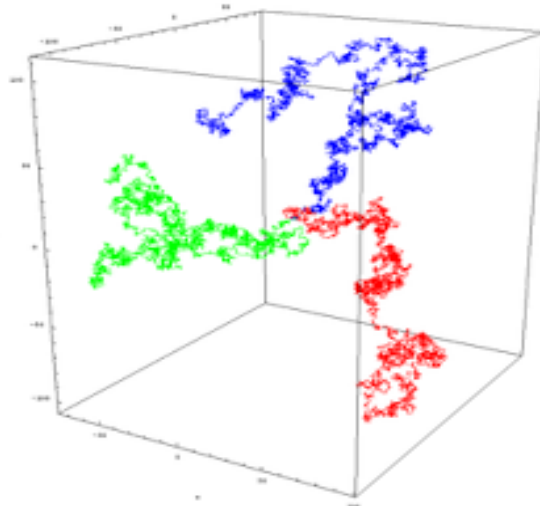


iii. Gradientes de concentración



Schaumburg et al (2017)

iii. Difusión molecular



$$\sigma^2 = 6Dt$$

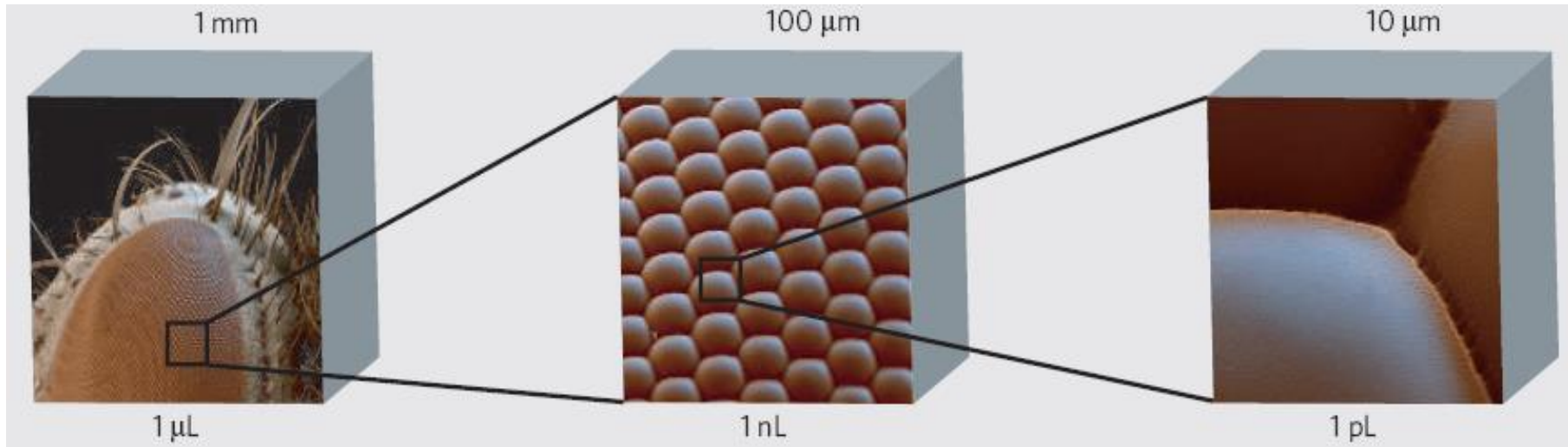
$$D = k_B T / 6\pi\mu r$$

iii. Tiempos característicos de difusión

$$z \rightarrow \sigma_z = (2Dt)^{1/2}$$

$$D = 5 \cdot 10^{-10} \text{ m}^2/\text{s}$$

$$t = z^2 / 2D$$



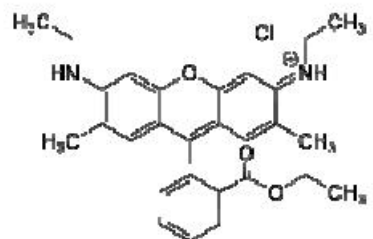
1000 s

10 s

0,1 s

iii. Tiempos característicos de difusión

$$D \approx 10^3 \mu\text{m}^2/\text{s}$$



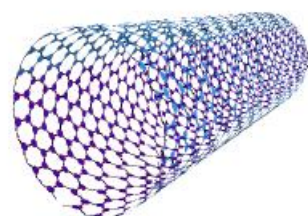
$$< 1 \text{ nm}$$

$$D \approx 40 \mu\text{m}^2/\text{s}$$



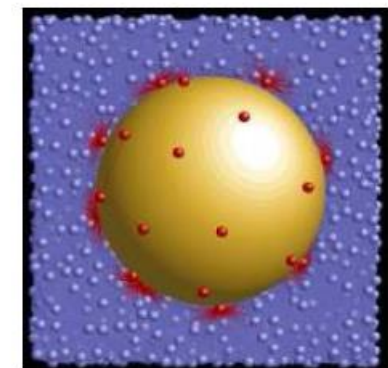
$$5 \text{ nm}$$

$$D \approx 2 \mu\text{m}^2/\text{s}$$



$$100 \text{ nm}$$

$$D \approx 0.2 \mu\text{m}^2/\text{s}$$



$$1 \mu\text{m}$$

$$\textcolor{red}{t} \sim (100 \mu\text{m})^2/2D$$

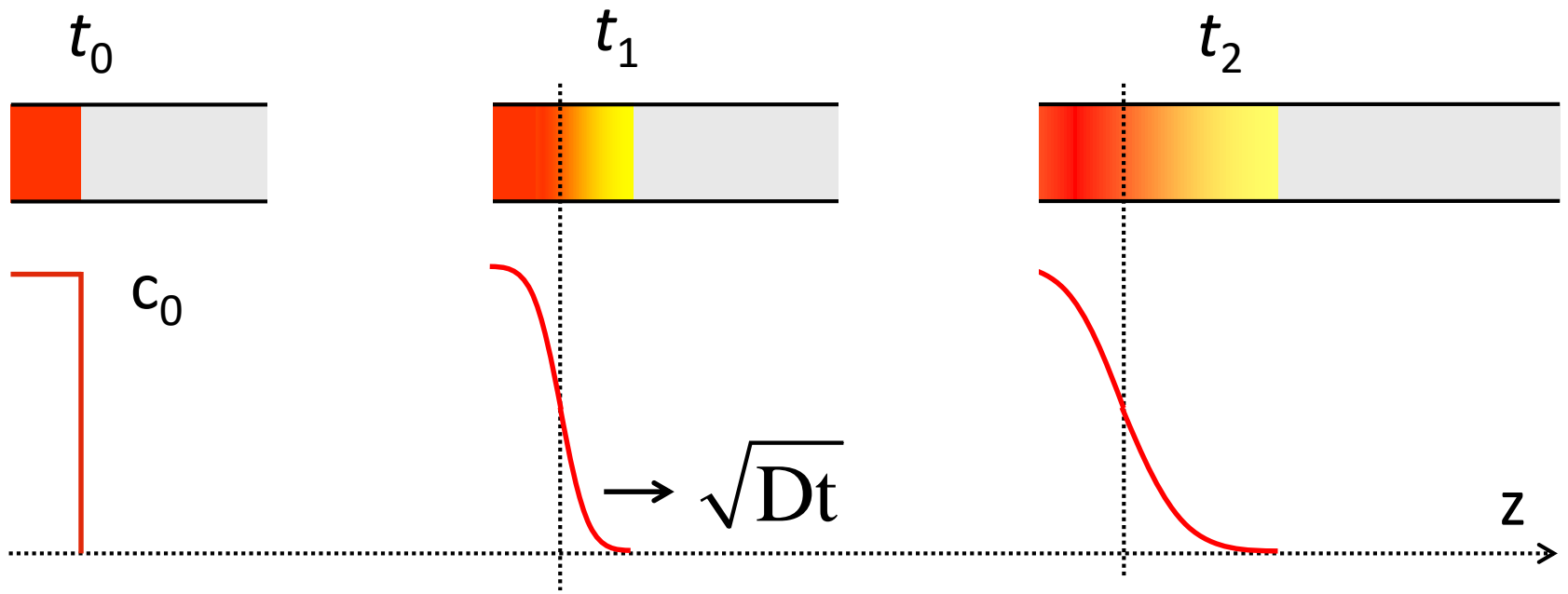
$$\textcolor{red}{5 \text{ s}}$$

$$\textcolor{red}{2 \text{ min}}$$

$$\textcolor{red}{42 \text{ min}}$$

$$\textcolor{red}{7 \text{ h}}$$

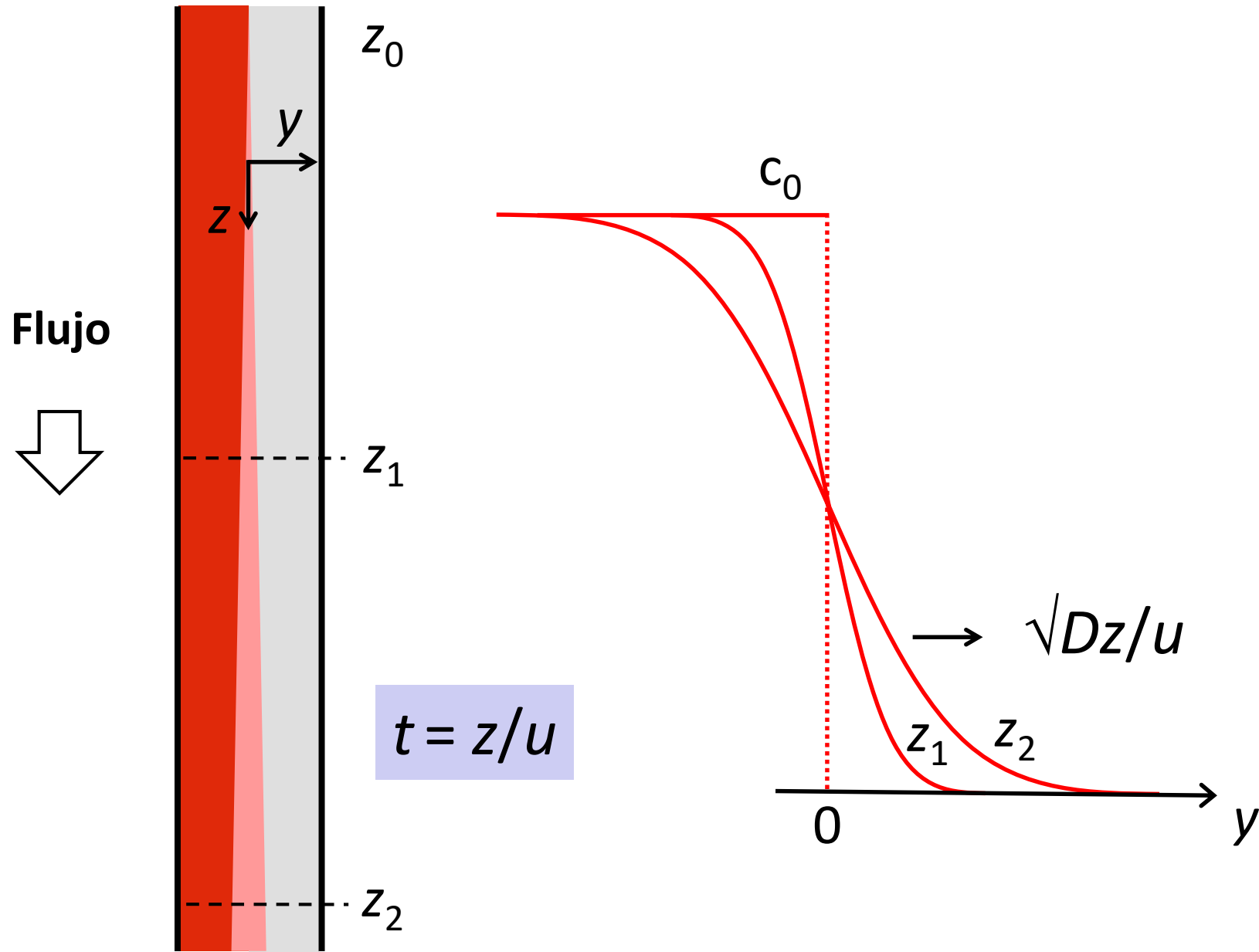
iii. Transporte difusivo, fluido estanco



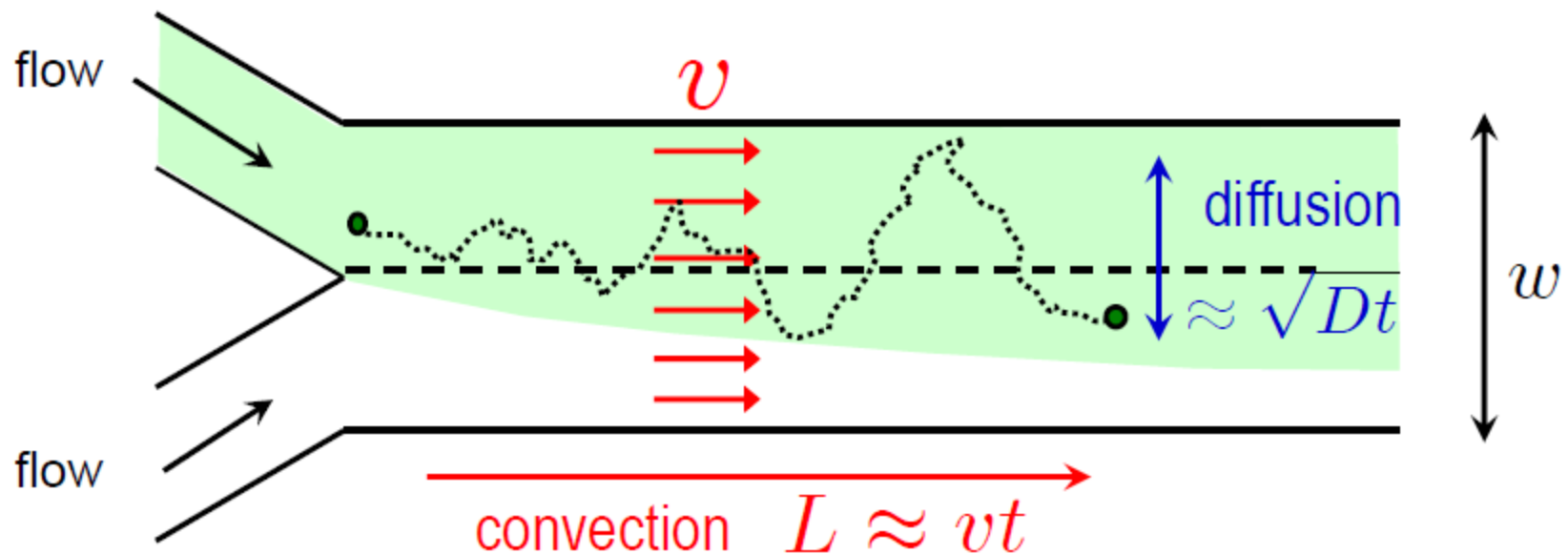
$$\frac{dc}{dt} = D \frac{d^2c}{dz^2}$$

$$c(z, t) = \frac{c_0}{2} \operatorname{cerf} \left(-\frac{z}{2\sqrt{Dt}} \right)$$

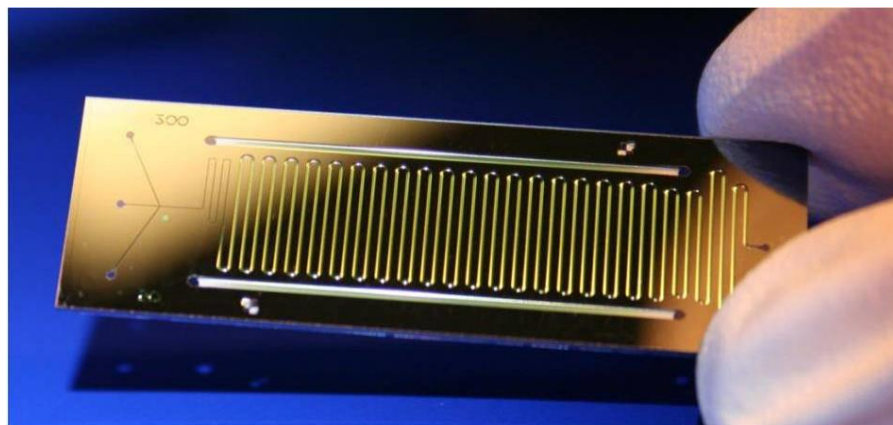
iii. Transporte difusivo, flujo transversal



iii. Difusión en co-flujo

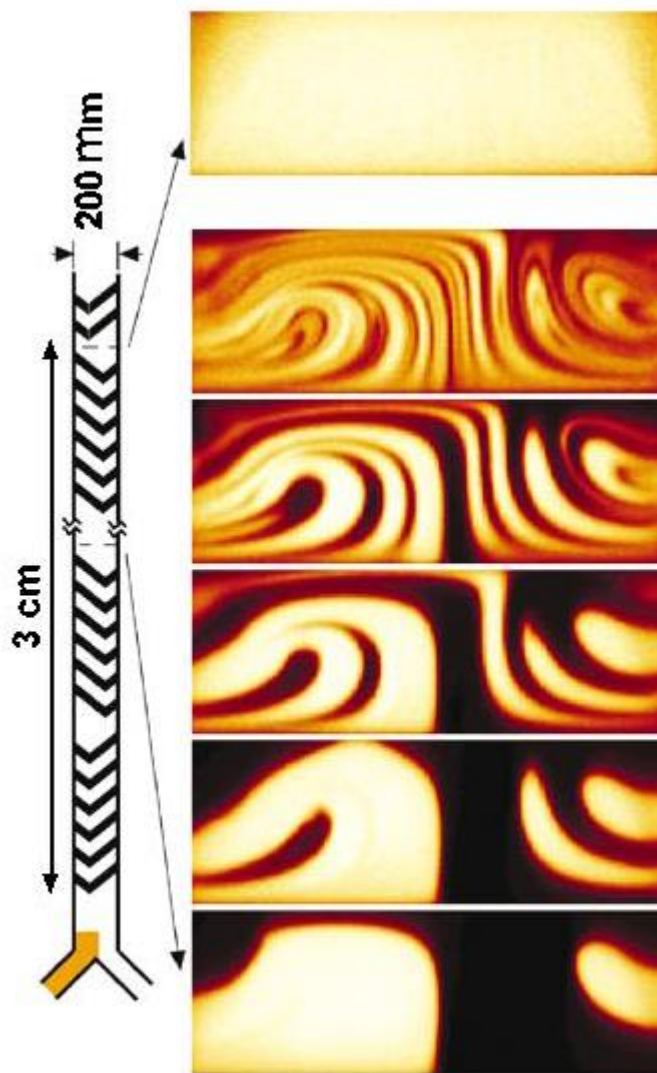


J.-B. Salomon
www.lof.cnrs.fr

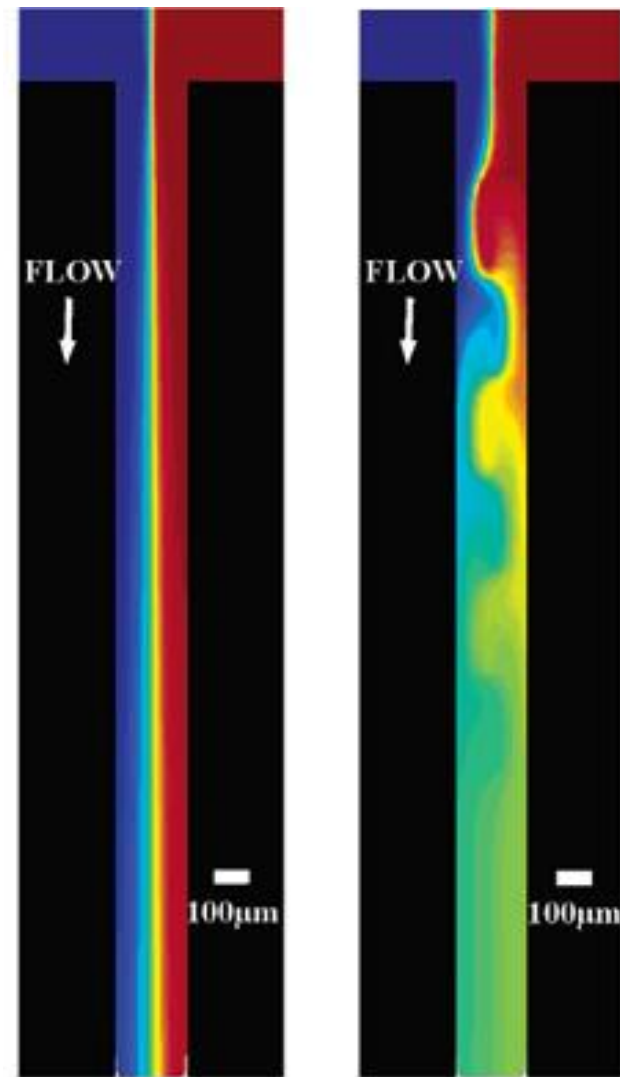


micronit.com

iii. La difusión como problema: mezclado

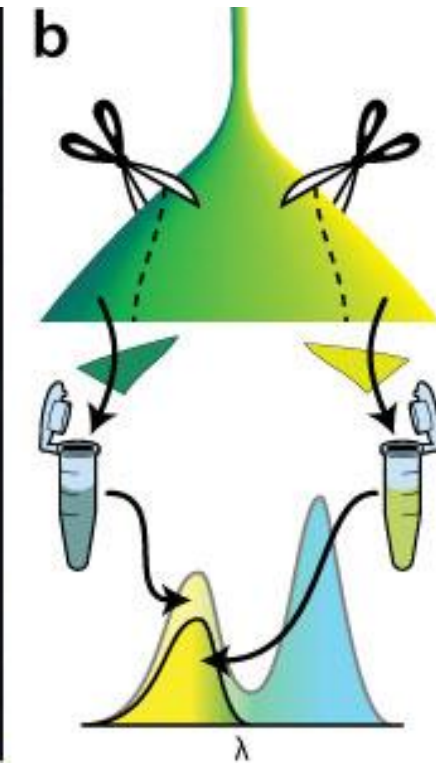
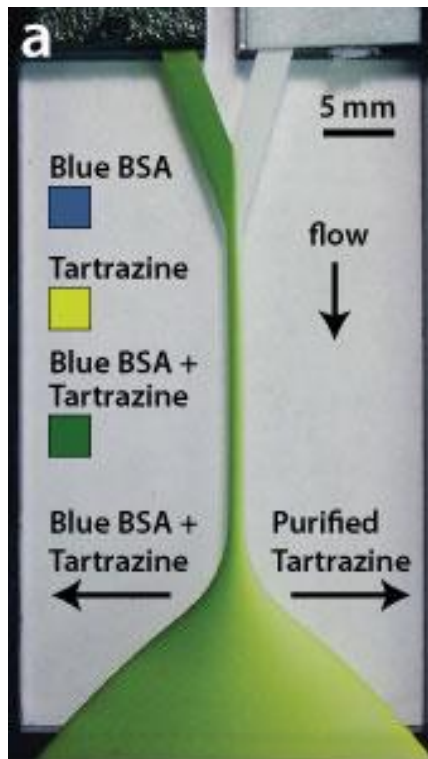
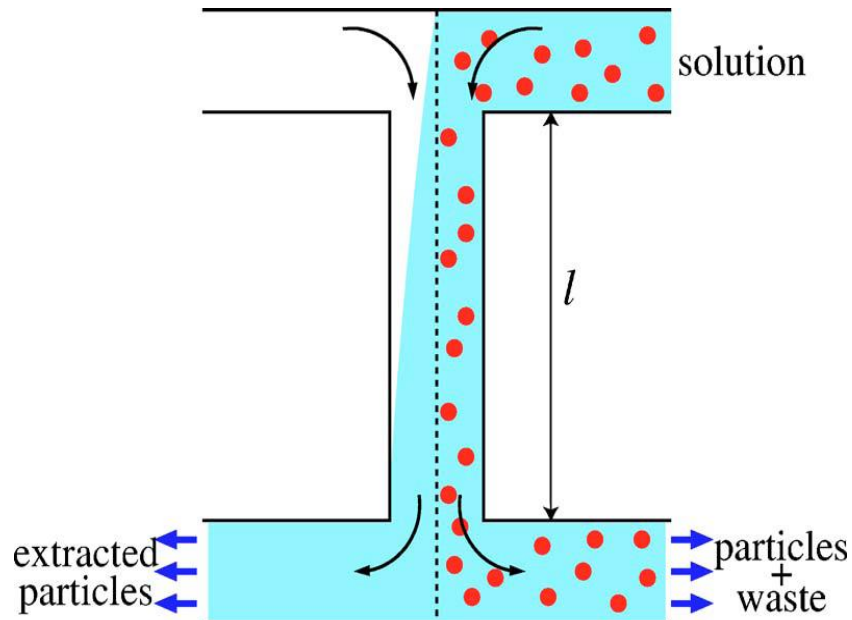


Strook et al., *Anal Chem* **74** (2002) 7306



Biddis et al., *Anal Chem* **76** (2004) 3208

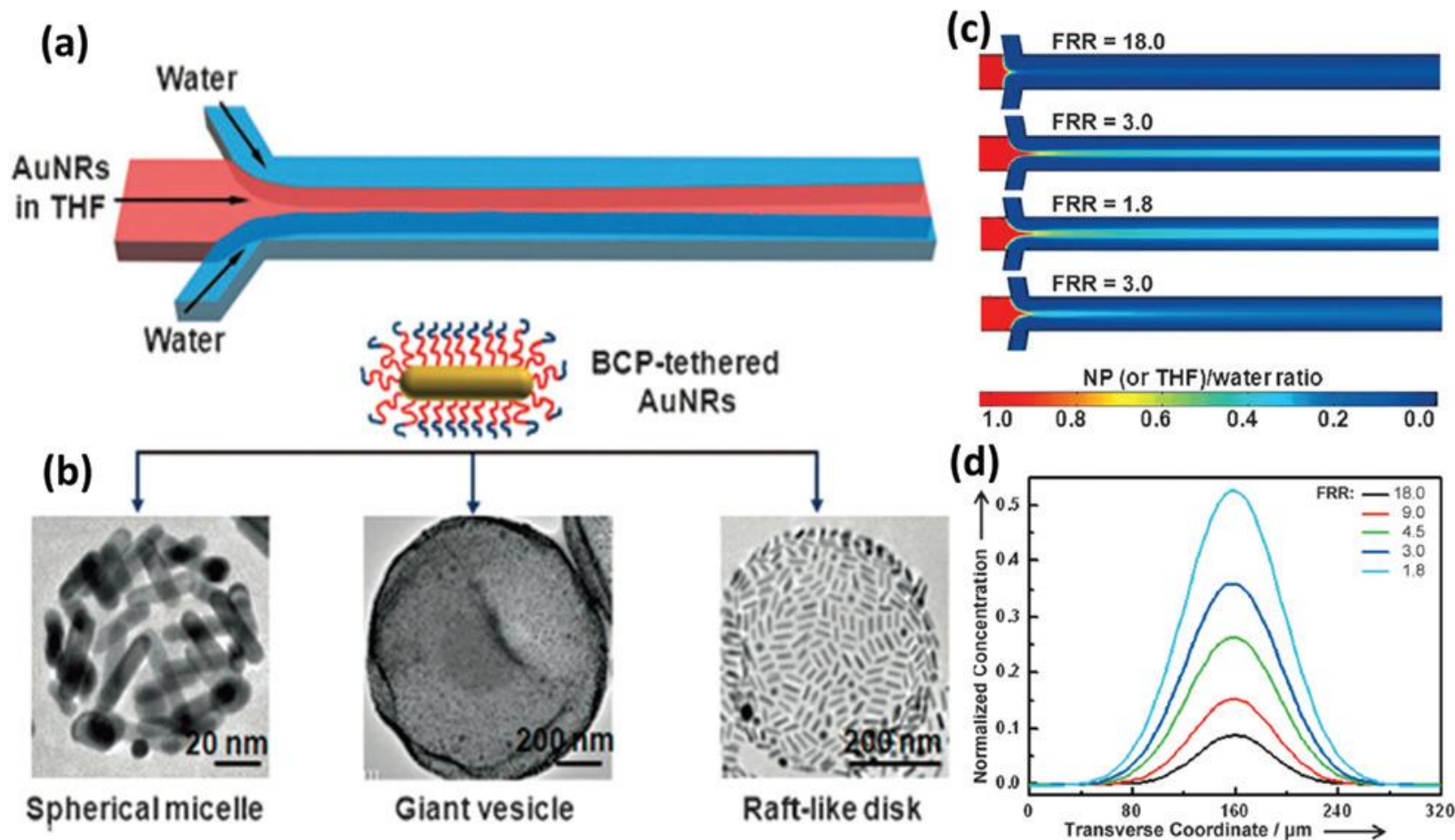
iii. La difusión en positivo: filtros sin membranas



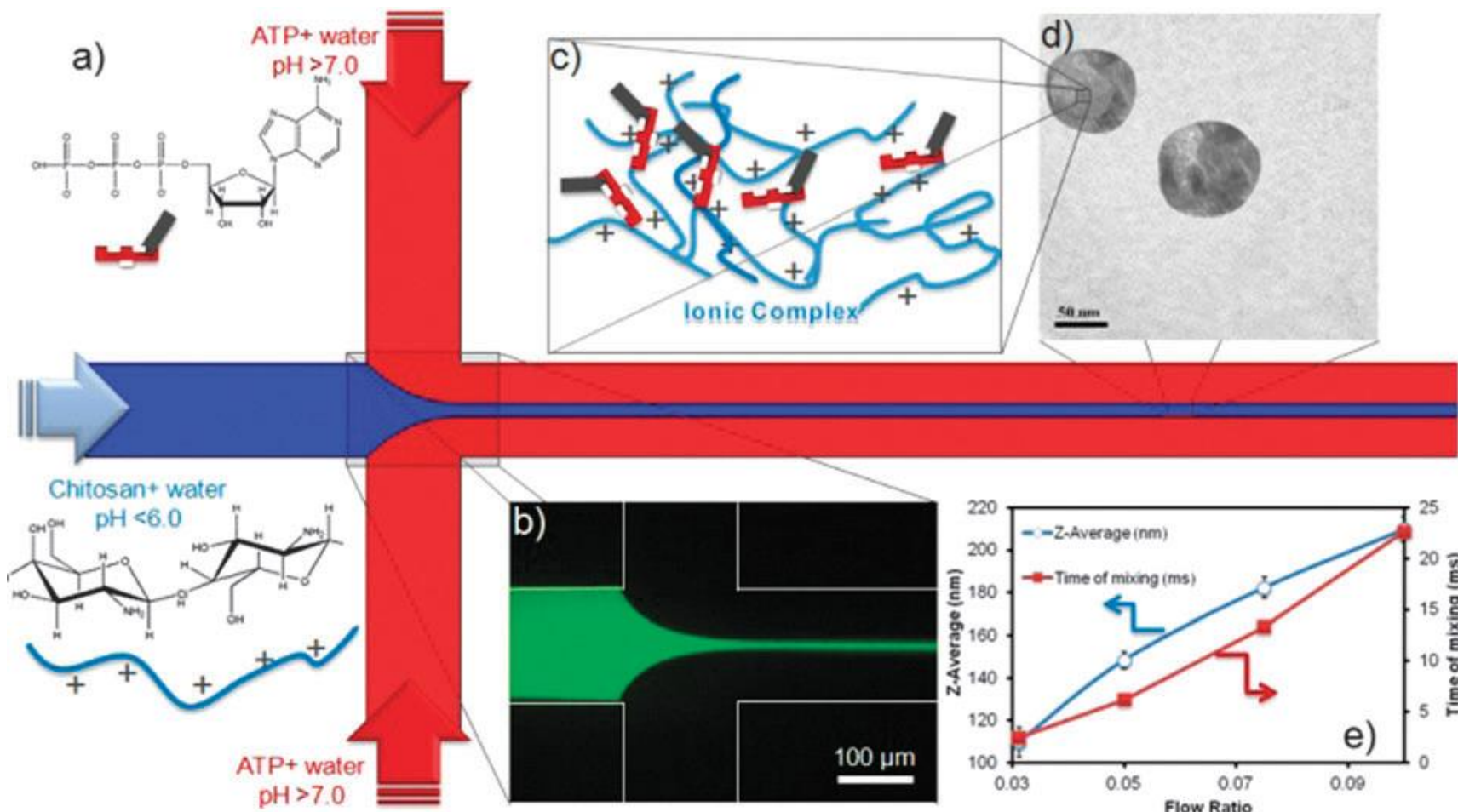
Brody and Yager,
Sens. Actuators A **58** (1997) 13

Osborn et al,
Lab Chip **10** (2010) 2659

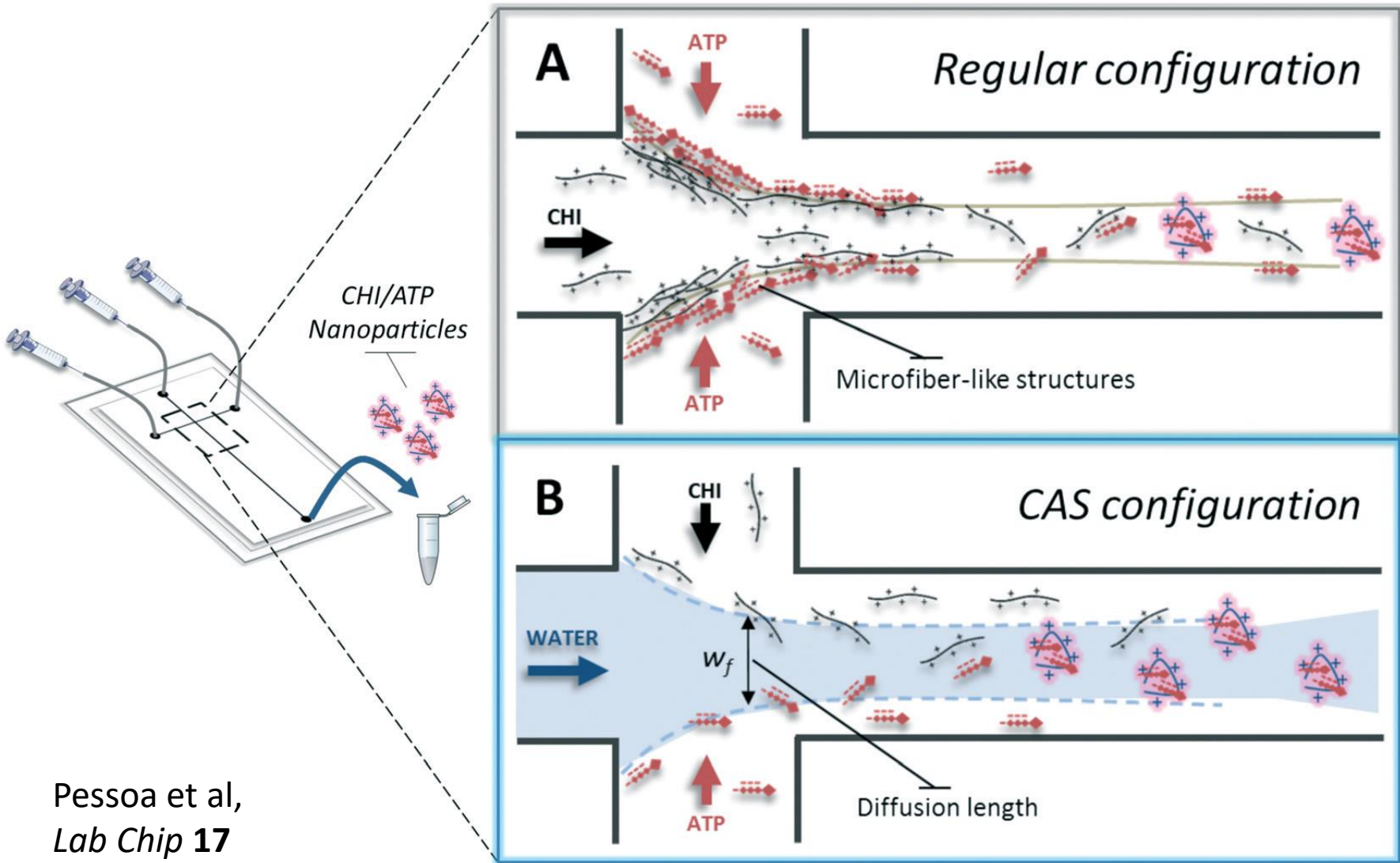
iii. Reacciones en co-flujo: auto-ensamblados



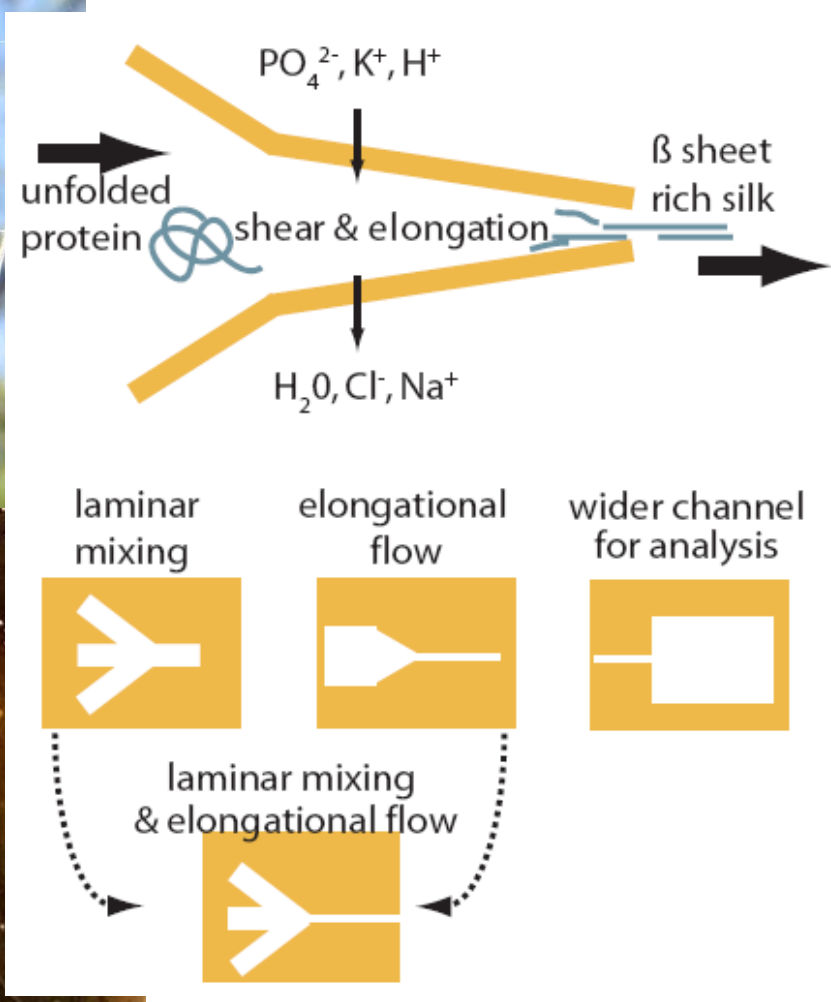
iii. Reacciones en co-flujo: auto-ensamblados



iii. Reacciones en co-flujo: auto-ensamblados

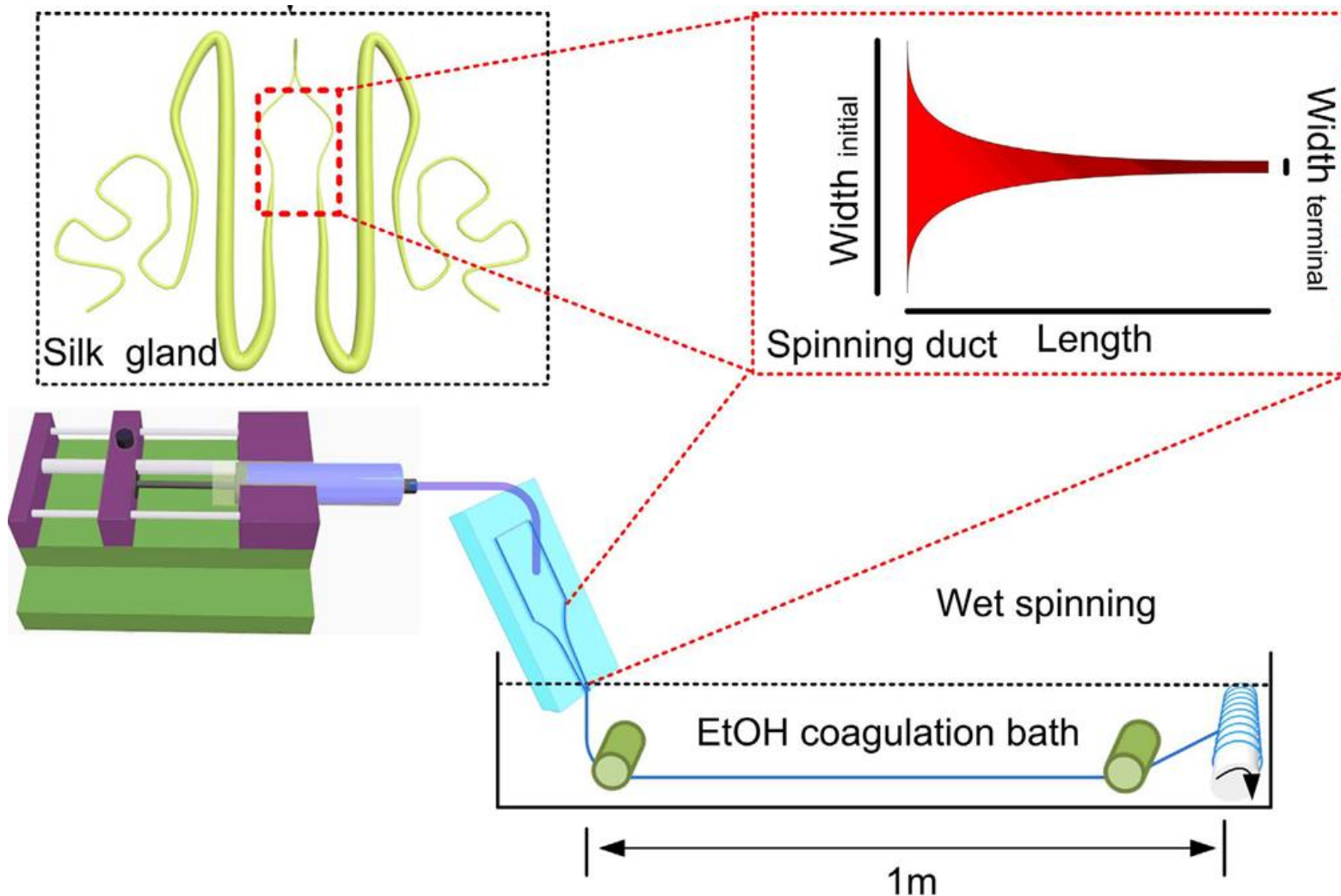


iii. ¿Hasta dónde podemos con esta configuración?

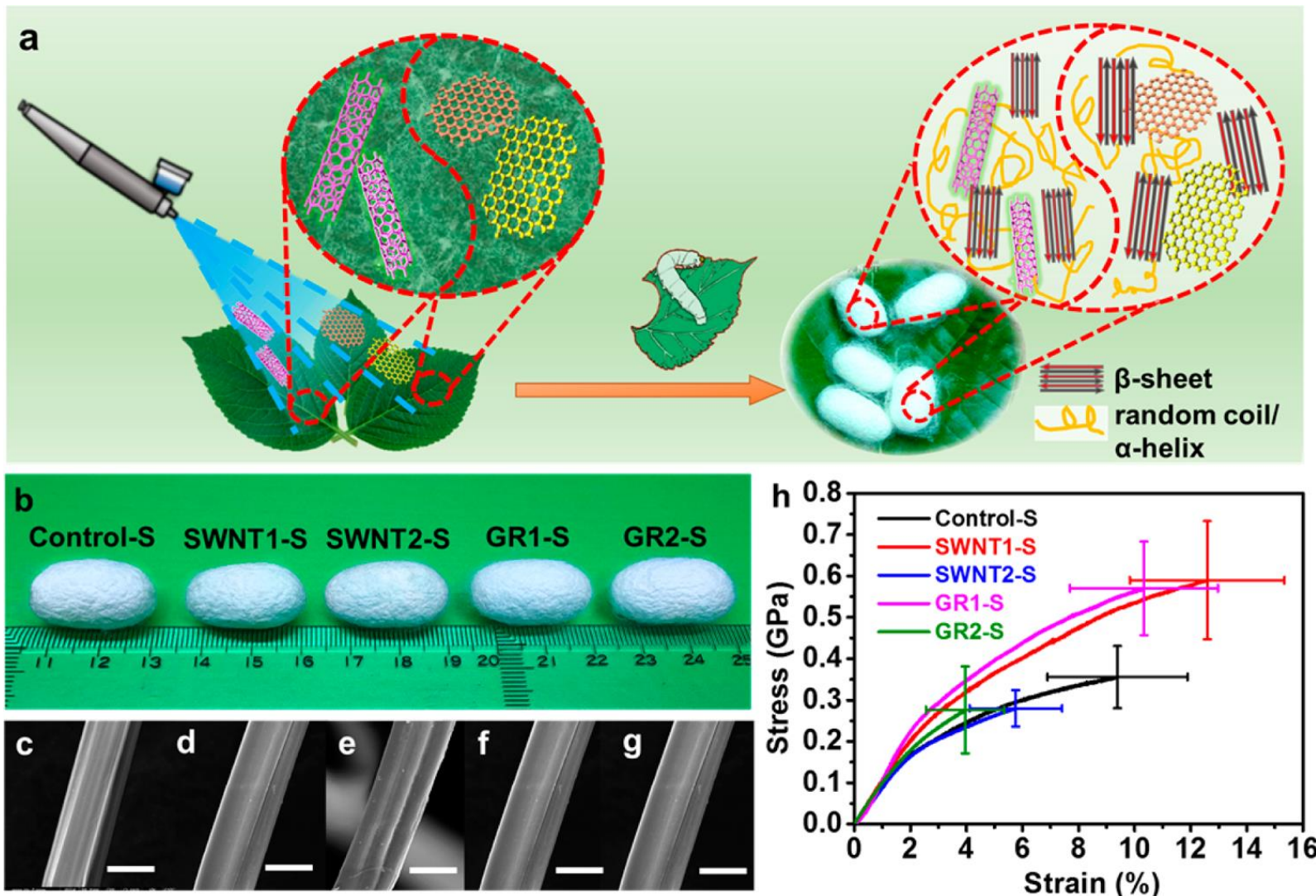


Rammensee et al,
PNAS 105 (2008) 6590

iii. Nuevos materiales imitando la naturaleza



iii. Nuevos materiales con la naturaleza



Muchas gracias:

A los organizadores por su amable invitación,
al CELFI por la ayuda financiera,
y a todos los presentes por su atención!

Claudio Berli
23/11/2017

